

COMUNE DI PASSIGNANO

LOCALITA' TRECINE

REGIONE UMBRIA

PROVINCIA DI PERUGIA



INTERVENTI DI MESSA
IN SICUREZZA E
SISTEMAZIONE DELLA
DISCARICA COMUNALE
IN LOCALITA' TRECINE
NEL COMUNE DI
PASSIGNANO (PG)

I STRALCIO
LAVORATIVO

PROGETTO DEFINITIVO/ESECUTIVO

RELAZIONE SULLE FONDAZIONI
VASCA IN C.A.

TAVOLA:

ET.09_Rev1

SCALA:

DATA:

GIU. 2022

LOGO PROGETTAZIONE



CUBE SRL
SOCIETA' DI INGEGNERIA

SEDE LEGALE - VIA TURATI, 2
63074 SAN BENEDETTO
DEL TRONTO (AP)

TEL - 0735/431388
FAX - 0735/431389
P.IVA - 02 08335 044 3

e-mail: cube@pec.cubeinfo.it
website : www.cubeinfo.it

LOGO COMMITTENTE



I PROGETTISTI:

DOTT. ING. MARCO SCIARRA



I COMMITTENTI:

LA TRASIMENO SERVIZI AMBIENTALI
TSA S.P.A.

VER.	DATA	PROTOCOLLO INTERNO	REDATTO-PROGETTATO	VERIFICATO	ACQUISITO	APPROVATO
1	DATA_1/...../.....	DISEGNATORE_PROGETTISTA	VERIFICATO_1	ACQUISITO_1	APPROVATO_1
2	DATA_2/...../.....	DISEGNATORE_PROGETTISTA2	VERIFICATO_2	ACQUISITO_2	APPROVATO_3
PERCORSO FILE		PERCORSO_FILE				

Sommario

1 Normativa di riferimento 2

2 Descrizione del software 2

3 Premessa 3

 Tipologia di fondazione..... 4

 3.1 Elementi di fondazione 4

 3.1.1 Fondazioni di piastre..... 4

4 Modellazione del sottosuolo e metodi di analisi e di verifica 5

 4.1 Modello di fondazione..... 5

5 Verifiche delle fondazioni 7

 5.1 Verifiche piastre C.A. di fondazione 7

 Platea a "Fondazione"..... 8

 5.2 Pressioni terreno in SLU 10

 5.3 Pressioni terreno in SLV/SLVf/SLUEcc..... 14

 5.4 Pressioni terreno in SLE/SLD 18

 5.5 Cedimenti fondazioni superficiali 22

1 Normativa di riferimento

NORME TECNICHE PER LE COSTRUZIONI NTC 2018

Norme tecniche per le costruzioni D.M. 17 gennaio 2018.

CONSIGLIO SUPERIORE DEI LAVORI PUBBLICI

Istruzioni per l'applicazione dell' "Aggiornamento delle "Norme tecniche per le costruzioni"" di cui al D.M. 17 gennaio 2018. Circolare 21 gennaio 2019, n.7.

NORME TECNICHE PER LE COSTRUZIONI NTC 2008

Norme tecniche per le costruzioni D.M. 14 gennaio 2008.

CONSIGLIO SUPERIORE DEI LAVORI PUBBLICI

Istruzioni per l'applicazione delle "Norme tecniche per le costruzioni" di cui al D.M. 14 gennaio 2008. Circolare 2 febbraio 2009.

CONSIGLIO SUPERIORE DEI LAVORI PUBBLICI

Pericolosità sismica e Criteri generali per la classificazione sismica del territorio nazionale. Allegato al voto n. 36 del 27.07.2007

NORMA TECNICA UNI EN 1997-1:2005 (EUROCODICE 7 - PROGETTAZIONE GEOTECNICA)

Progettazione geotecnica - Parte 1: Regole generali.

NORMA TECNICA UNI EN 1998:2005 (EUROCODICE 8 - PROGETTAZIONE SISMICA)

Indicazioni progettuali per la resistenza sismica delle strutture - Parte 5: Fondazioni, strutture di contenimento ed aspetti geotecnici.

D.M. 11/03/1988

Norme tecniche riguardanti le indagini sui terreni e sulle rocce, la stabilità dei pendii naturali e delle scarpate, i criteri generali e le prescrizioni per la progettazione, l'esecuzione e il collaudo delle opere di sostegno delle terre e delle opere di fondazione (norma possibile se si opera in Zona sismica 4, attuali Classi I e II).

2 Descrizione del software

Descrizione del programma Sismicad

Si tratta di un programma di calcolo strutturale che nella versione più estesa è dedicato al progetto e verifica degli elementi in cemento armato, acciaio, muratura e legno di opere civili. Il programma utilizza come analizzatore e solutore del modello strutturale un proprio solutore agli elementi finiti tridimensionale fornito col pacchetto. Il programma è sostanzialmente diviso in tre moduli: un pre processore che consente l'introduzione della geometria e dei carichi e crea il file dati di input al solutore; il solutore agli elementi finiti; un post processore che a soluzione avvenuta elabora i risultati eseguendo il progetto e la verifica delle membrature e producendo i grafici ed i tabulati di output.

Specifiche tecniche

Denominazione del software: Sismicad 12.19

Produttore del software: Concrete

Concrete srl, via della Pieve, 19, 35121 PADOVA - Italy

<http://www.concrete.it>

Rivenditore: CONCRETE SRL - Via della Pieve 19 - 35121 Padova - tel.049-8754720

Versione: 12.19

Identificatore licenza: SW-180602651

Intestatario della licenza: Cube s.r.l. - Via Filippo Turati, 2 - San Benedetto del Tronto (AP)

Versione regolarmente licenziata

Schematizzazione strutturale e criteri di calcolo delle sollecitazioni

Il programma schematizza la struttura attraverso l'introduzione nell'ordine di fondazioni, poste anche a quote diverse, platee, platee nervate, plinti e travi di fondazione poggianti tutte su suolo elastico alla Winkler, di elementi verticali, pilastri e pareti in c.a. anche con fori, di orizzontamenti costituiti da solai orizzontali e inclinati (falde), e relative travi di piano e di falda; è ammessa anche l'introduzione di elementi prismatici in c.a. di interpiano con possibilità di collegamento in inclinato a solai posti a quote diverse. I nodi strutturali possono essere connessi solo a travi, pilastri e pareti, simulando così impalcati infinitamente deformabili nel piano, oppure a elementi lastra di spessore dichiarato dall'utente simulando in tal modo impalcati a rigidezza finita. I nodi appartenenti agli impalcati orizzontali possono essere connessi rigidamente ad uno o più nodi principali giacenti nel piano dell'impalcato; generalmente un nodo principale coincide con il baricentro delle masse. Tale opzione, oltre a ridurre significativamente i tempi di elaborazione, elimina le approssimazioni numeriche connesse all'utilizzo di elementi lastra quando si richiede l'analisi a impalcati infinitamente rigidi. Per quanto concerne i carichi, in fase di immissione dati, vengono definite, in numero a scelta dell'utente, condizioni di carico elementari le quali, in aggiunta alle azioni sismiche e variazioni termiche, vengono combinate attraverso coefficienti moltiplicativi per fornire le combinazioni richieste per le verifiche successive. L'effetto di disassamento delle forze orizzontali, indotto ad esempio dai torcenti di piano per costruzioni in zona sismica, viene simulato attraverso l'introduzione di eccentricità planari aggiuntive le quali costituiscono ulteriori condizioni elementari di carico da cumulare e combinare secondo i criteri del paragrafo precedente. Tipologicamente sono ammessi sulle travi e sulle pareti carichi uniformemente distribuiti e carichi trapezoidali; lungo le aste e nei nodi di incrocio delle membrature sono anche definibili componenti di forze e coppie concentrate comunque dirette nello spazio. Sono previste distribuzioni di temperatura, di intensità a scelta dell'utente, agenti anche su singole porzioni di struttura. Il calcolo delle sollecitazioni si basa sulle seguenti ipotesi e modalità: - travi e pilastri deformabili a sforzo normale, flessione deviata, taglio deviato e momento torcente. Sono previsti coefficienti riduttivi dei momenti di inerzia a scelta dell'utente per considerare la riduzione della rigidezza flessionale e torsionale per effetto della fessurazione del conglomerato cementizio. E' previsto un moltiplicatore della rigidezza assiale dei pilastri per considerare, se pure in modo approssimato, l'accorciamento dei pilastri per sforzo normale durante la costruzione. - le travi di fondazione su suolo alla Winkler sono risolte in forma chiusa tramite uno specifico elemento finito; - le pareti in c.a. sono analizzate schematizzandole come elementi lastra-piastra discretizzati con passo massimo assegnato in fase di immissione dati; - le pareti in muratura possono essere schematizzate con elementi lastra-piastra con spessore flessionale ridotto rispetto allo spessore membranale.- I plinti su suolo alla Winkler sono modellati con la introduzione di molle verticali elastoplastiche. La traslazione orizzontale a scelta dell'utente è bloccata o gestita da molle orizzontali di modulo di reazione proporzionale al verticale. - I pali sono modellati suddividendo l'asta in più aste immerse in terreni di stratigrafia definita dall'utente. Nei nodi di divisione tra le aste vengono inserite molle assialsimmetriche elastoplastiche precaricate dalla spinta a riposo che hanno come pressione limite minima la spinta attiva e come pressione limite massima la spinta passiva modificabile attraverso opportuni coefficienti. - i plinti su pali sono modellati attraverso aste di rigidezza elevata che

collegano un punto della struttura in elevazione con le aste che simulano la presenza dei pali;- le piastre sono discretizzate in un numero finito di elementi lastra-piastra con passo massimo assegnato in fase di immissione dati; nel caso di platee di fondazione i nodi sono collegati al suolo da molle aventi rigidezze alla traslazione verticale ed richiesta anche orizzontale.- La deformabilità nel proprio piano di piani dichiarati non infinitamente rigidi e di falde (piani inclinati) può essere controllata attraverso la introduzione di elementi membranali nelle zone di solaio. - I disassamenti tra elementi asta sono gestiti automaticamente dal programma attraverso la introduzione di collegamenti rigidi locali.- Alle estremità di elementi asta è possibile inserire svincolamenti tradizionali così come cerniere parziali (che trasmettono una quota di ciò che trasmetterebbero in condizioni di collegamento rigido) o cerniere plastiche.- Alle estremità di elementi bidimensionali è possibile inserire svincolamenti con cerniere parziali del momento flettente avente come asse il bordo dell'elemento.- Il calcolo degli effetti del sisma è condotto, a scelta dell'utente, con analisi statica lineare, con analisi dinamica modale o con analisi statica non lineare, in accordo alle varie normative adottate. Le masse, nel caso di impalcati dichiarati rigidi sono concentrate nei nodi principali di piano altrimenti vengono considerate diffuse nei nodi giacenti sull'impalcato stesso. Nel caso di analisi sismica vengono anche controllati gli spostamenti di interpiano.

Verifiche delle membrature in cemento armato

Nel caso più generale le verifiche degli elementi in c.a. possono essere condotte col metodo delle tensioni ammissibili (D.M. 14-1-92) o agli stati limite in accordo al D.M. 09-01-96, al D.M. 14-01-08, al D.M. 17-01-18 o secondo Eurocodice 2. Le travi sono progettate e verificate a flessione retta e taglio; a richiesta è possibile la verifica per le sei componenti della sollecitazione. I pilastri ed i pali sono verificati per le sei componenti della sollecitazione. Per gli elementi bidimensionali giacenti in un medesimo piano è disponibile la modalità di verifica che consente di analizzare lo stato di verifica nei singoli nodi degli elementi. Nelle verifiche (a presso flessione e punzonamento) è ammessa la introduzione dei momenti di calcolo modificati in base alle direttive dell'EC2, Appendice A.2.8. I plinti superficiali sono verificati assumendo lo schema statico di mensole con incastri posti a filo o in asse pilastro. Gli ancoraggi delle armature delle membrature in c.a. sono calcolati sulla base della effettiva tensione normale che ogni barra assume nella sezione di verifica distinguendo le zone di ancoraggio in zone di buona o cattiva aderenza. In particolare il programma valuta la tensione normale che ciascuna barra può assumere in una sezione sviluppando l'aderenza sulla superficie cilindrica posta a sinistra o a destra della sezione considerata; se in una sezione una barra assume per effetto dell'aderenza una tensione normale minore di quella ammissibile, il suo contributo all'area complessiva viene ridotto dal programma nel rapporto tra la tensione normale che la barra può assumere per effetto dell'aderenza e quella ammissibile. Le verifiche sono effettuate a partire dalle aree di acciaio equivalenti così calcolate che vengono evidenziate in relazione. A seguito di analisi inelastiche eseguite in accordo a OPCM 3431 o D.M. 14-01-08, al D.M. 17-01-18 vengono condotte verifiche di resistenza per i meccanismi fragili (nodi e taglio) e verifiche di deformabilità per i meccanismi duttili.

Verifiche delle membrature in acciaio

Le verifiche delle membrature in acciaio (solo per utenti Sismicad acciaio) possono essere condotte secondo CNR 10011 (stato limite o tensioni ammissibili), CNR 10022, D.M. 14-01-08, al D.M. 17-01-18 o Eurocodice 3. Sono previste verifiche di resistenza e di instabilità. Queste ultime possono interessare superelementi cioè membrature composte di più aste. Le verifiche tengono conto, ove richiesto, della distinzione delle condizioni di carico in normali o eccezionali (I e II) previste dalle normative adottate.

Affidabilità dei codici di calcolo

Un attento esame preliminare della documentazione a corredo del software di calcolo agli elementi finiti ha permesso di valutarne l'affidabilità e l'idoneità al problema specifico. La documentazione, fornita dal produttore e distributore del software (Concrete s.r.l.), contiene una esauriente descrizione delle basi teoriche e degli algoritmi impiegati, l'individuazione dei campi d'impiego, nonché casi prova interamente risolti e commentati, corredati dei file di input necessari a riprodurre l'elaborazione: La società produttrice, Concrete s.r.l., ha verificato l'affidabilità e la robustezza del codice di calcolo attraverso un numero significativo di casi prova in cui i risultati dell'analisi numerica sono stati confrontati con soluzioni teoriche. Il progettista assicura, dunque, l'accettabilità dei risultati del codice di calcolo e la sua adeguatezza per il problema in esame.

Validazione dei codici di calcolo

La struttura in progetto non è relativa ad un'opera di particolare importanza, per questo non sono stati eseguiti controlli incrociati sui risultati di calcolo attraverso l'esecuzione nuovamente dei calcoli da soggetto diverso da quello originario mediante programmi di calcolo diversi da quelli usati originariamente.

Modalità di presentazione dei risultati

La relazione di calcolo strutturale presenta i dati di calcolo tale da garantirne la leggibilità, la corretta interpretazione e la riproducibilità. In particolare la relazione di calcolo oltre a illustrare in modo esaustivo i dati in ingresso e i risultati delle analisi in forma tabellare, riporta una serie di immagini, almeno per le parti più sollecitate della struttura, tale da avere una sintesi completa e efficace del comportamento della struttura per ogni tipo di analisi svolta.

Informazioni generali sull'elaborazione

Il programma prevede una serie di controlli automatici (check) che consentono l'individuazione di errori di modellazione, del non rispetto delle limitazioni geometriche e di armatura e della presenza di elementi non verificati. Al termine dell'analisi un controllo automatico identifica la presenza di spostamenti o rotazioni abnormi. Il codice di calcolo consente di visualizzare e controllare, sia in forma grafica che tabulare, la quasi totalità dei dati del modello strutturale, in modo da avere una visione consapevole del comportamento corretto del modello strutturale.

3 Premessa

La **struttura in oggetto** è stata analizzata secondo la norma D.M. 17-01-18 (N.T.C.), considerandola come tipo di costruzione 2 - Costruzioni con livelli di prestazioni ordinari. In particolare si è prevista, in accordo con il committente, una vita nominale dell'opera di $V_n=50$ anni per una classe d'uso II, e quindi una vita di riferimento di 50 anni (NTC18 e NTC08 §2.4.3). L'opera è edificata in località Perugia, Passignano Sul Trasimeno; Latitudine ED50 43,1951° (43° 11' 42"); Longitudine ED50 12,1302° (12° 7' 49"); Altitudine s.l.m. 279,68 m. (coordinate esatte: 43,1951 12,1302).

Tipologia di fondazione

Nella modellazione si è considerata la presenza di fondazioni superficiali, schematizzando il suolo con un letto di molle elastiche di assegnata rigidità. In direzione orizzontale si è considerata la struttura bloccata.

I valori di default dei parametri di modellazione del suolo, cioè quelli adottati dove non diversamente specificato, sono i seguenti:

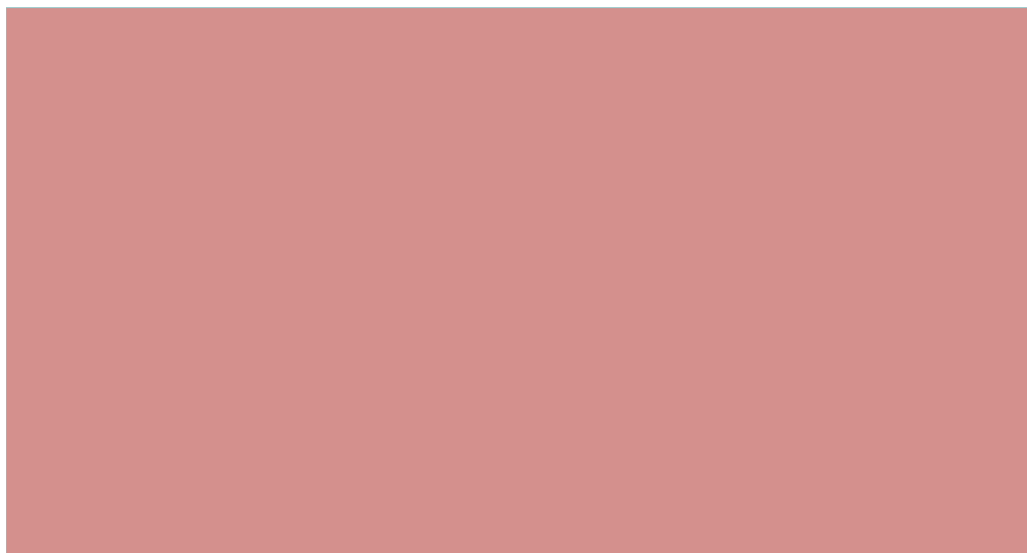
Coefficiente di sottofondo verticale per fondazioni superficiali (default)	3	[daN/cm ³]
K punta palo (default)	4	[daN/cm ³]
Pressione limite punta palo (default)	10	[daN/cm ²]

Per elementi nei quali si sono valutati i parametri geotecnici in funzione della stratigrafia sottostante si sono adottate le seguenti formulazioni di letteratura:

Metodo di calcolo della K verticale	Vesic
Metodo di calcolo della capacità portante	Vesic
Metodo di calcolo della pressione limite punta palo	Vesic

La resistenza limite offerta dai pali in direzione orizzontale e verticale è funzione dell'attrito e della coesione che si può sviluppare all'interfaccia con il terreno. Oltre ai dati del suolo, descritti nelle seguenti stratigrafie, hanno influenza anche i seguenti parametri:

Coefficiente di sicurezza per carico limite (fondazioni superficiali)	2.3
Coefficiente di sicurezza per scorrimento (fondazioni superficiali)	1.1



Rappresentazione in pianta di tutti gli elementi strutturali di fondazione.

3.1 Elementi di fondazione

3.1.1 Fondazioni di piastre

Descrizione breve: descrizione breve usata nelle tabelle dei capitoli delle piastre di fondazione.

Stratigrafia: stratigrafia del terreno nel punto medio in pianta dell'elemento.

Sondaggio: è possibile indicare esplicitamente un sondaggio definito nelle preferenze oppure richiedere di estrapolare il sondaggio dalla definizione del sito espressa nelle preferenze.

Estradosso: distanza dalla quota superiore del sondaggio misurata in verticale con verso positivo verso l'alto. [cm]

Deformazione volumetrica: valore della deformazione volumetrica impiegato nel calcolo della pressione limite a rottura con la formula di Vesic. Il valore è adimensionale. Accetta anche il valore di default espresso nelle preferenze.

Angolo pendio: angolo del pendio rispetto l'orizzontale; il valore deve essere positivo per opere in sommità di un pendio mentre deve essere negativo per opere al piede di un pendio. [deg]

K verticale: coefficiente di sottofondo verticale del letto di molle. [daN/cm³]

Limite compressione: pressione limite di plasticizzazione a compressione del letto di molle. [daN/cm²]

Limite trazione: pressione limite di plasticizzazione a trazione del letto di molle. [daN/cm²]

Descrizione breve	Stratigrafia			Angolo pendio	K verticale	Limite compressione	Limite trazione
	Sondaggio	Estradosso	Deformazione volumetrica				
FS1	Sondaggio 1	0		0	Default (3)	Default (10)	Default (0.001)

4 Modellazione del sottosuolo e metodi di analisi e di verifica

Modellazione del sottosuolo e metodi di analisi e di verifica: contiene la descrizione del modello di calcolo adottato per il suolo, con i relativi parametri di modellazione; sono indicati anche gli eventuali metodi adottati per ricavare i parametri di modellazione ed i metodi e le condizioni con cui sono condotte le verifiche geotecniche.

4.1 Modello di fondazione

Le travi di fondazione sono modellate tramite uno specifico elemento finito che gestisce il suolo elastico alla Winkler. Le fondazioni a plinto superficiale sono modellate con un numero elevato di molle verticali elastiche agenti su nodi collegati rigidamente al nodo centrale. Le fondazioni a platea sono modellate con l'inserimento di molle verticali elastiche agenti nei nodi delle mesh.

Verifica di scorrimento

La verifica di scorrimento della fondazione superficiale viene eseguita considerando le caratteristiche del terreno immediatamente sottostante al piano di posa della fondazione, ricavato in base alla stratigrafia associata all'elemento, e trascurando, a favore di sicurezza, l'eventuale spinta passiva laterale. Qualora l'elemento in verifica sia formato da parti non omogenee tra loro, ad esempio una travata in cui le singole travi di fondazione siano associate ad un differente sondaggio, verranno condotte verifiche geotecniche distinte sui singoli tratti.

Lo scorrimento di una fondazione avviene nel momento in cui le componenti delle forze parallele al piano di contatto tra fondazione e terreno vincono l'attrito e la coesione terreno-fondazione e, qualora fosse presente, la spinta passiva laterale.

Il coefficiente di sicurezza a scorrimento si ottiene dal rapporto tra le forze stabilizzanti di progetto (R_d) e quelle instabilizzanti (E_d):

$$R_d = (N \cdot \tan(\varphi) + c_a \cdot B \cdot L + \alpha \cdot S_p) / \gamma_{Rs}$$

$$|E_d| = \sqrt{T_x^2 + T_y^2}$$

dove:

N = risultante delle forze normali al piano di scorrimento;
 T_x, T_y = componenti delle forze tangenziali al piano di scorrimento;
 $\tan(\varphi)$ = coefficiente di attrito terreno-fondazione;
 c_a = aderenza alla base, pari alla coesione del terreno di fondazione o ad una sua frazione;
 B, L = dimensioni della fondazione;
 α = fattore di riduzione della spinta passiva;
 S_p = spinta passiva dell'eventuale terreno laterale;
 γ_{Rs} = fattore di sicurezza parziale per lo scorrimento;

Le normative prevedono che il fattore di sicurezza a scorrimento $FS = R_d/E_d$ sia non minore di un prefissato limite.

Verifica di capacità portante

La verifica di capacità portante della fondazione superficiale viene eseguita mediante formulazioni di letteratura geotecnica considerando le caratteristiche dei terreni sottostanti al piano di posa della fondazione, ricavati in base alla stratigrafia associata all'elemento.

Qualora l'elemento in verifica sia formato da parti non omogenee tra loro, ad esempio una travata in cui le singole travi di fondazione siano associate ad un differente sondaggio, verranno condotte verifiche geotecniche distinte sui singoli tratti.

La portanza viene fatta raffrontando la portanza di progetto (R_d) con la sollecitazione di progetto (E_d); la prima deriva dalla portanza calcolata con metodi della letteratura geotecnica, ridotta da opportuni fattori di sicurezza parziali; la seconda viene valutata ricavando la risultante della sollecitazione scaricata al suolo con una integrazione delle pressioni nel tratto di calcolo. Le normative prevedono che il fattore di sicurezza alla capacità portante, espresso come rapporto tra il carico ultimo di progetto della fondazione (R_d) ed il carico agente (E_d), sia non minore di un prefissato limite.

La portanza di una fondazione rappresenta il carico ultimo trasmissibile al suolo prima di arrivare alla rottura del terreno. Le formule di calcolo presenti in letteratura sono nate per la fondazione nastriforme indefinita ma aggiungono una serie di termini correttivi per considerare le effettive condizioni al contorno della fondazione, esprimendo la capacità portante ultima in termini di pressione limite agente su di una fondazione equivalente soggetta a carico centrato.

La determinazione della capacità portante ai fini della verifica è stata condotta secondo il metodo di Vesic, che viene descritto nei paragrafi successivi.

Metodo di Vesic

La capacità portante valutata attraverso la formula di Vesic risulta, nel caso generale:

$$Q_{lim} = c \cdot N_c \cdot s_c \cdot d_c \cdot i_c \cdot b_c \cdot g_c + q \cdot N_q \cdot s_q \cdot d_q \cdot i_q \cdot b_q \cdot g_q + \frac{1}{2} \gamma \cdot B \cdot N_\gamma \cdot s_\gamma \cdot d_\gamma \cdot i_\gamma \cdot b_\gamma \cdot g_\gamma$$

Nel caso di terreno eminentemente coesivo ($\phi = 0$) tale relazione diventa:

$$Q_{lim} = (2 + \pi) \cdot c_u \cdot (1 + s'_c + d'_c - i'_c - b'_c - g'_c) + q$$

dove:

gamma'	= peso di volume efficace dello strato di fondazione;
B	= larghezza efficace della fondazione ($B = B_f - 2e$);
L	= lunghezza efficace della fondazione ($L = L_f - 2e$);
c	= coesione dello strato di fondazione;
c _u	= coesione non drenata dello strato di fondazione;
q	= sovraccarico del terreno sovrastante il piano di fondazione;
N _c , N _q , N _γ	= fattori di capacità portante;
s _c , s _q , s _γ	= fattori di forma della fondazione;
d _c , d _q , d _γ	= fattori di profondità del piano di posa della fondazione;
i _c , i _q , i _γ	= fattori di inclinazione del carico;
b _c , b _q , b _γ	= fattori di inclinazione della base della fondazione;
g _c , g _q , g _γ	= fattori di inclinazione del piano campagna;

Nel caso di piano di campagna inclinato ($\beta > 0$) e $\phi = 0$, Vesic propone l'aggiunta, nella formula sopra definita, del termine $0.5 \cdot \gamma \cdot B \cdot N_\gamma$ con $N_\gamma = -2 \cdot \tan \beta$

Per la teoria di Vesic i coefficienti sopra definiti assumono le espressioni che seguono:

$$N_c = (N_q - 1) \cdot \cot \phi; \quad N_q = \tan^2 \left(45^\circ + \frac{\phi}{2} \right) \cdot e^{(\pi \cdot \tan \phi)}; \quad N_\gamma = 2 \cdot (N_q + 1) \cdot \tan \phi$$

$$s_c = 1 + \frac{B}{L} \cdot \frac{N_q}{N_c}; \quad s'_c = 0.2 \cdot \frac{B}{L}; \quad s_q = 1 + \frac{B}{L} \cdot \tan \phi; \quad s_\gamma = 1 - 0.4 \cdot \frac{B}{L}$$

$$d_c = 1 + 0.4 \cdot k; \quad d'_c = 0.4 \cdot k; \quad d_q = 1 + 2 \cdot k \cdot \tan \phi \cdot (1 - \sin \phi)^2; \quad d_\gamma = 1$$

$$i_c = i_q - \frac{1 - i_q}{N_q - 1}; \quad i'_c = \frac{m \cdot H}{B \cdot L \cdot c_a \cdot N_c}; \quad i_q = \left(1 - \frac{H}{V + B \cdot L \cdot c_a \cdot \cot \phi} \right)^m;$$

$$i_\gamma = \left(1 - \frac{H}{V + B \cdot L \cdot c_a \cdot \cot \phi} \right)^{m+1}$$

$$g_c = 1 - \frac{\beta^\circ}{147^\circ}; \quad g'_c = \frac{\beta^\circ}{147^\circ}; \quad g_q = (1 - \tan \beta)^2; \quad g_\gamma = g_q$$

$$b_c = 1 - \frac{\eta^\circ}{147^\circ}; \quad b'_c = \frac{\eta^\circ}{147^\circ}; \quad b_q = (1 - \eta \cdot \tan \phi)^2; \quad b_\gamma = b_q$$

$$k = \frac{D}{B_f} \quad \left(\text{se } \frac{D}{B_f} \leq 1 \right); \quad k = \arctg \left(\frac{D}{B_f} \right) \quad \left(\text{se } \frac{D}{B_f} > 1 \right); \quad m = \frac{2 + \frac{B}{L}}{1 + \frac{B}{L}}$$

nelle quali si sono considerati i seguenti dati:

- ϕ = angolo di attrito dello strato di fondazione;
- ca = aderenza alla base della fondazione;
- nu = inclinazione del piano di posa della fondazione sull'orizzontale (nu = 0 se orizzontale);
- beta = inclinazione del pendio;
- H = componente orizzontale del carico trasmesso sul piano di posa della fondazione;
- V = componente verticale del carico trasmesso sul piano di posa della fondazione;
- D = profondità del piano di posa della fondazione dal piano campagna;

Influenza degli strati sulla capacità portante

Le formulazioni utilizzate per la portanza prevedono la presenza di uno stesso terreno nella zona interessata dalla potenziale rottura. In prima approssimazione lo spessore di tale zona è pari a:

$$H = \frac{1}{2} \cdot B \cdot \tan(45^\circ + \phi/2)$$

In presenza di stratificazioni di terreni diversi all'interno di tale zona, il calcolo diventa più complesso; non esiste una metodologia univoca per questi casi, differenti autori hanno proposto soluzioni diverse a seconda dei casi che si possono presentare. In prima approssimazione, nel caso di stratificazioni, viene trovata una media delle caratteristiche dei terreni, pesata sullo spessore degli strati interessati. Nel caso in cui il primo strato incontrato sia coesivo viene anche verificato che la compressione media agente sulla fondazione non superi la tensione limite di espulsione, circostanza che provocherebbe il rifluimento del terreno da sotto la fondazione, rendendo impossibile la portanza.

La tensione limite di espulsione qult per terreno coesivo viene calcolata come:

$$q_{ult} = 4c + q$$

dove c è la coesione e q è il sovraccarico agente sul piano di posa.

Influenza del sisma sulla capacità portante

La capacità portante nelle combinazioni sismiche viene valutata mediante l'estensione di procedure classiche al caso di azione sismica.

L'effetto inerziale prodotto dalla struttura in elevazione sulla fondazione può essere considerato tenendo conto dell'effetto dell'inclinazione (rapporto tra forze T parallele al piano di posa e carico normale N) e dell'eccentricità (rapporto tra momento M e carico normale N) delle azioni in fondazione, e produce variazioni di tutti i coefficienti di capacità portante del carico limite, oltre alla riduzione dell'area efficace.

L'effetto cinematico si manifesta per effetto dell'inerzia delle masse del suolo sotto la fondazione come una riduzione della resistenza teorica calcolata in condizioni statiche; tale riduzione è in funzione del coefficiente sismico orizzontale kh, cioè dell'accelerazione normalizzata massima attesa al suolo, e delle caratteristiche del suolo. L'effetto è più marcato su terreni granulari, mentre nei suoli coesivi è poco rilevante.

Per tener conto nella determinazione del carico limite di tali effetti inerziali vengono introdotti nelle combinazioni sismiche anche i fattori correttivi e (earthquake), valutati secondo **Paolucci e Pecker**:

$$e_q = \left(1 - \frac{k_h}{\lg \phi}\right)^{0.35}; \quad e_c = 1 - 0.32 \cdot k_h; \quad e_\gamma = e_q$$

5 Verifiche delle fondazioni

Verifiche delle fondazioni: contiene la descrizione degli stati limite considerati, gli approcci e le combinazioni di calcolo adottate; vengono poi elencate le pressioni e gli spostamenti massimi e minimi raggiunti nei diversi SL e le verifiche condotte sulle fondazioni presenti, superficiali e profonde.

Le verifiche nei confronti degli Stati Limite ultimi SLU strutturali (STR) e geotecnici (GEO) sono state effettuate applicando la combinazione (A1+M1+R3) di coefficienti parziali prevista dall'approccio 2:

DA1.2 - Approccio 2:
- Combinazione 1:(A1+M1+R3)

Le verifiche strutturali delle fondazioni in combinazioni sismiche sono state condotte in campo sostanzialmente elastico.

5.1 Verifiche piastre C.A. di fondazione

Le unità di misura elencate nel capitolo sono in [cm, daN, deg] ove non espressamente specificato.

Nodo: indice del nodo di verifica.

Dir.: direzione della sezione di verifica.

B: base della sezione rettangolare di verifica. [cm]

H: altezza della sezione rettangolare di verifica. [cm]

A. sup.: area barre armatura superiori. [cm²]

C. sup.: distanza media delle barre superiori dal bordo superiore della sezione. [cm]

A. inf.: area barre armatura inferiori. [cm²]

C. inf.: distanza media delle barre inferiori dal bordo inferiore della sezione. [cm]

Comb.: combinazione di verifica.

M: momento flettente. [daN*cm]

N: sforzo normale. [daN]

Mu: momento flettente ultimo. [daN*cm]

Nu: sforzo normale ultimo. [daN]

c.s.: coefficiente di sicurezza.

Verifica: stato di verifica.

σc: tensione nel calcestruzzo. [daN/cm²]

σlim: tensione limite. [daN/cm²]

Es/Ec: coefficiente di omogenizzazione.

σ_f : tensione nell'acciaio d'armatura. [daN/cm²]

Comb.: combinazione.

F_h: componente orizzontale del carico. [daN]

F_v: componente verticale del carico. [daN]

Cnd: resistenza valutata a breve o lungo termine (BT - LT).

Ad: adesione di progetto. [daN/cm²]

Phi: angolo di attrito di progetto. [deg]

RPI: resistenza passiva laterale unitaria di progetto. [daN/cm²]

γ_R : coefficiente parziale sulla resistenza di progetto.

Rd: resistenza alla traslazione di progetto. [daN]

Ed: azione di progetto. [daN]

Rd/Ed: coefficiente di sicurezza allo scorrimento.

ID: indice della verifica di capacità portante.

F_x: componente lungo x del carico. [daN]

F_y: componente lungo y del carico. [daN]

F_z: componente verticale del carico. [daN]

M_x: componente lungo x del momento. [daN*cm]

M_y: componente lungo y del momento. [daN*cm]

ix: inclinazione del carico in x. [deg]

iy: inclinazione del carico in y. [deg]

ex: eccentricità del carico in x. [cm]

ey: eccentricità del carico in y. [cm]

B': larghezza efficace. [cm]

L': lunghezza efficace. [cm]

C: coesione di progetto. [daN/cm²]

Qs: sovraccarico laterale da piano di posa. [daN/cm²]

Rd: resistenza alla rottura del complesso di progetto. [daN]

Ed: azione di progetto (sforzo normale al piano di posa). [daN]

Rd/Ed: coefficiente di sicurezza alla capacità portante.

N:

N_q: fattore di capacità portante per il termine di sovraccarico.

N_c: fattore di capacità portante per il termine coesivo.

N_g: fattore di capacità portante per il termine attritivo.

S:

S_q: fattore correttivo di capacità portante per forma (shape), per il termine di sovraccarico.

S_c: fattore correttivo di capacità portante per forma (shape), per il termine coesivo.

S_g: fattore correttivo di capacità portante per forma (shape), per il termine attritivo.

D:

D_q: fattore correttivo di capacità portante per approfondimento (deep), per il termine di sovraccarico.

D_c: fattore correttivo di capacità portante per approfondimento (deep), per il termine coesivo.

D_g: fattore correttivo di capacità portante per approfondimento (deep), per il termine attritivo.

I:

I_q: fattore correttivo di capacità portante per inclinazione del carico, per il termine di sovraccarico.

I_c: fattore correttivo di capacità portante per inclinazione del carico, per il termine coesivo.

I_g: fattore correttivo di capacità portante per inclinazione del carico, per il termine attritivo.

B:

B_q: fattore correttivo di capacità portante per inclinazione della base, per il termine di sovraccarico.

B_c: fattore correttivo di capacità portante per inclinazione della base, per il termine coesivo.

B_g: fattore correttivo di capacità portante per inclinazione della base, per il termine attritivo.

G:

G_q: fattore correttivo di capacità portante per inclinazione del pendio, per il termine di sovraccarico.

G_c: fattore correttivo di capacità portante per inclinazione del pendio, per il termine coesivo.

G_g: fattore correttivo di capacità portante per inclinazione del pendio, per il termine attritivo.

P:

P_q: fattore correttivo di capacità portante per punzonamento, per il termine di sovraccarico.

P_c: fattore correttivo di capacità portante per punzonamento, per il termine coesivo.

P_g: fattore correttivo di capacità portante per punzonamento, per il termine attritivo.

E:

E_q: fattore correttivo di capacità portante per sisma (earthquake), per il termine di sovraccarico.

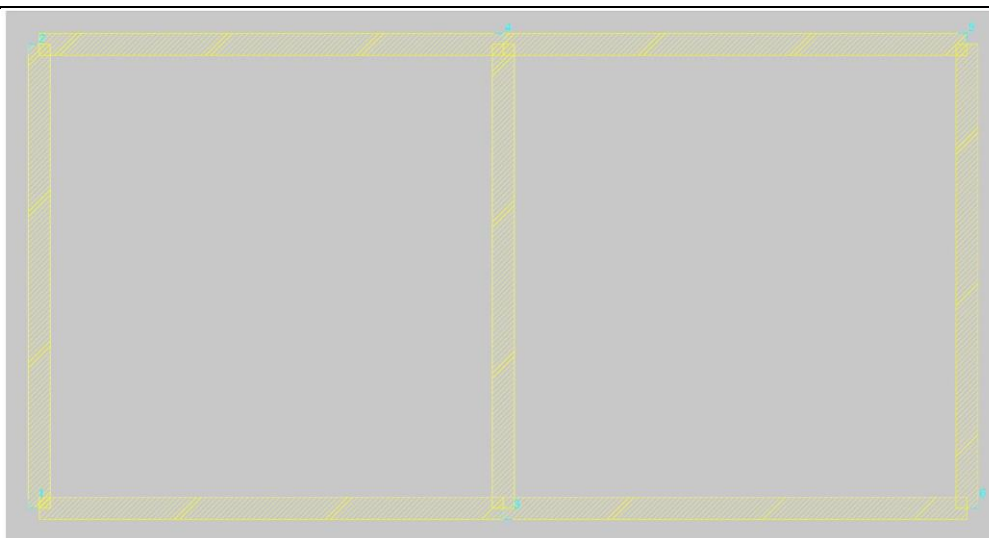
E_c: fattore correttivo di capacità portante per sisma (earthquake), per il termine coesivo.

E_g: fattore correttivo di capacità portante per sisma (earthquake), per il termine attritivo.

Platea a "Fondazione"

Verifiche condotte secondo D.M. 17-01-18 (N.T.C.)

Geometria



Caratteristiche dei materiali

Acciaio: B450C Fyk 4500

Calcestruzzo: C25/30 Rck 300

Sistema di riferimento e direzioni di armatura

Le coordinate citate nel seguito sono espresse in un sistema di riferimento cartesiano con origine in (-30; -30; -380), direzione dell'asse X = (1; 0; 0), direzione dell'asse Y = (0; 1; 0).

Le direzioni X/Y di armatura e le sezioni X/Y di verifica sono individuate dagli assi del sistema di riferimento.

Verifiche nei nodi

Verifiche SLU flessione nei nodi

Piastra di fondazione con comportamento non dissipativo pertanto la verifica a pressoflessione, per le combinazioni SLV, viene eseguita calcolando i momenti resistenti in campo sostanzialmente elastico secondo D.M. 17-01-2018 §7.4.1

Nodo	Dir.	B	H	A. sup.	C. sup.	A. inf.	C. inf.	Comb.	M	N	Mu	Nu	c.s.	Verifica
209	Y	100	40	4.52	3.6	4.52	3.6	SLU 16	563104	0	643733	0	1.1432	Si
107	Y	100	40	4.52	3.6	4.52	3.6	SLU 16	558620	0	643733	0	1.1524	Si
285	X	100	40	4.52	4.8	4.52	4.8	SLU 16	485133	0	637225	0	1.3135	Si
37	X	100	40	4.52	4.8	4.52	4.8	SLU 16	484876	0	637225	0	1.3142	Si
36	X	100	40	4.52	4.8	4.52	4.8	SLU 16	484616	0	637225	0	1.3149	Si

Verifiche SLD Resistenza flessione nei nodi

Piastra di fondazione con comportamento non dissipativo pertanto la verifica a pressoflessione viene eseguita calcolando i momenti resistenti in campo sostanzialmente elastico secondo D.M. 17-01-2018 §7.4.1

Nodo	Dir.	B	H	A. sup.	C. sup.	A. inf.	C. inf.	Comb.	M	N	Mu	Nu	c.s.	Verifica
209	Y	100	40	4.52	3.6	4.52	3.6	SLD 12	381304	0	603440	0	1.5826	Si
37	X	100	40	4.52	4.8	4.52	4.8	SLD 15	366632	0	582086	0	1.5877	Si
107	Y	100	40	4.52	3.6	4.52	3.6	SLD 9	379983	0	603440	0	1.5881	Si
286	X	100	40	4.52	4.8	4.52	4.8	SLD 14	365154	0	582086	0	1.5941	Si
36	X	100	40	4.52	4.8	4.52	4.8	SLD 15	364937	0	582086	0	1.595	Si

Verifiche SLE tensione calcestruzzo nei nodi

Nodo	Dir.	B	H	A. sup.	C. sup.	A. inf.	C. inf.	Comb.	M	N	σc	σlim	Es/Ec	Verifica
37	X	100	40	4.52	4.8	4.52	4.8	SLE QP 1	334701	0	-11.9	112.1	15	Si
36	X	100	40	4.52	4.8	4.52	4.8	SLE QP 1	333456	0	-11.8	112.1	15	Si
286	X	100	40	4.52	4.8	4.52	4.8	SLE QP 1	331326	0	-11.7	112.1	15	Si
285	X	100	40	4.52	4.8	4.52	4.8	SLE QP 1	328877	0	-11.6	112.1	15	Si
277	X	100	40	4.52	4.8	4.52	4.8	SLE QP 1	326836	0	-11.6	112.1	15	Si

Verifiche SLE tensione acciaio nei nodi

Nodo	Dir.	B	H	A. sup.	C. sup.	A. inf.	C. inf.	Comb.	M	N	σf	σlim	Es/Ec	Verifica
209	Y	100	40	4.52	3.6	4.52	3.6	SLE RA 4	412731	0	178.2	3600	15	Si
107	Y	100	40	4.52	3.6	4.52	3.6	SLE RA 4	409530	0	176.8	3600	15	Si
142	Y	100	40	4.52	3.6	4.52	3.6	SLE RA 4	362568	0	156.5	3600	15	Si
168	Y	100	40	4.52	3.6	4.52	3.6	SLE RA 4	361057	0	155.9	3600	15	Si
148	Y	100	40	4.52	3.6	4.52	3.6	SLE RA 4	357985	0	154.5	3600	15	Si

Verifiche SLE fessurazione nei nodi

La piastra non presenta nodi con apertura delle fessure.

Verifiche geotecniche

Dati geometrici dell'impronta di calcolo

Forma dell'impronta di calcolo: rettangolare di area equivalente

Centro impronta, nel sistema globale: 645; 330; -420

Lato minore B dell'impronta: 720

Lato maggiore L dell'impronta: 1350

Area dell'impronta rettangolare di calcolo: 972002

Verifica di scorrimento sul piano di posa

Coefficiente di sicurezza minimo per scorrimento 1.32

Comb.	Fh	Fv	Cnd	Ad	Phi	RPI	γR	Rd	Ed	Rd/Ed	Verifica
SLU 9	0	-655168	LT	0	20	0	1.1	216783	0	391110543.81	Si
SLV FO 5	161353	-642351	LT	0	20	0	1.1	212542	161353	1.32	Si

Verifica di capacità portante sul piano di posa

Profondità massima del bulbo di rottura considerato: 6.62 m

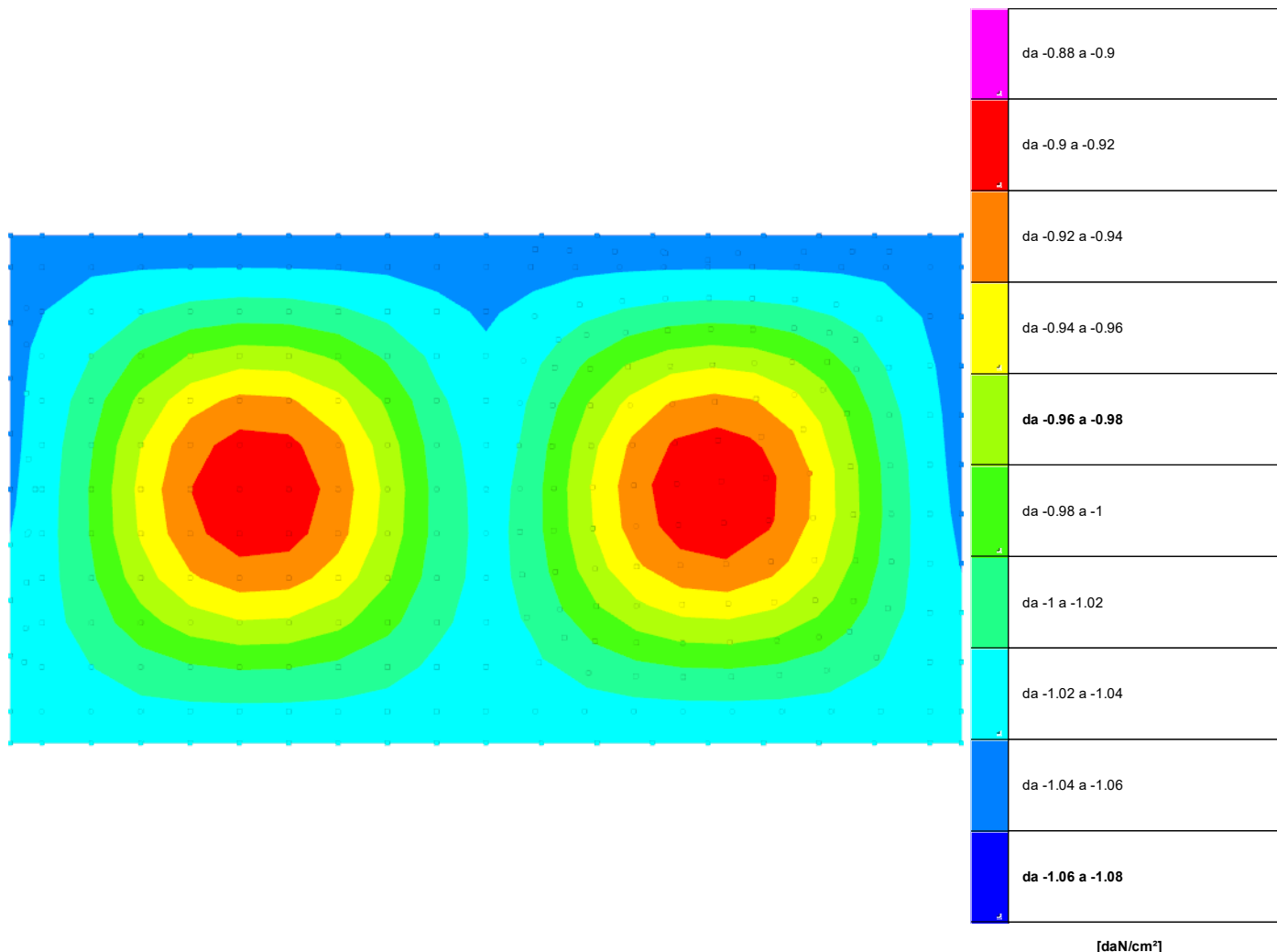
Peso specifico efficace del terreno di progetto γ_s : 2182 daN/m³Accelerazione normalizzata massima attesa al suolo A_{max} per verifiche in SLD: 0.025Accelerazione normalizzata massima attesa al suolo A_{max} per verifiche in SLV: 0.058

Coefficiente di sicurezza minimo per portanza 12.54

ID	Comb.	Fx	Fy	Fz	Mx	My	ix	iy	ex	ey	B'	L'	Cnd	C	Phi	Qs	yR	Rd	Ed	Rd/Ed	Verifica
1	SLU 16	0	0	-970328	-1184992	-138258	0	0	0	-1	718	1350	LT	0.29	33	0.09	2.3	16733701	970328	17.25	Si
2	SLV FO 8	-29122	158699	-642351	-	-8048895	-3	14	-13	-64	592	1325	LT	0.29	33	0.09	2.3	8052900	642351	12.54	Si
3	SLD 8	-12355	67563	-642351	-	-3550087	-1	6	-6	-29	662	1339	LT	0.29	33	0.09	2.3	12490419	642351	19.44	Si
					18473105																

Verifiche geotecniche di capacità portante - fattori utilizzati nel calcolo di Rd

ID	N			S			D			I			B			G			P			E		
	Nq	Nc	Ng	Sq	Sc	Sg	Dq	Dc	Dg	Iq	Ik	Ig	Bq	Bc	Bg	Gq	Gc	Gg	Pq	Pc	Pg	Eq	Ec	Eg
1	26	38	35	1.34	1.36	0.79	1.01	1.02	1	1	1	1	1	1	1	1	1	1	1	1	1	1	1	1
2	26	38	35	1.29	1.3	0.82	1.01	1.02	1	0.74	0.73	0.62	1	1	1	1	1	1	1	1	1	0.97	0.98	0.97
3	26	38	35	1.32	1.33	0.8	1.01	1.02	1	0.89	0.89	0.83	1	1	1	1	1	1	1	1	1	0.99	0.99	0.99

5.2 Pressioni terreno in SLU

Rappresentazione in pianta delle massime compressioni sul terreno in famiglia SLU.

Nodo: Nodo che interagisce col terreno.**Ind.:** indice del nodo.**Pressione minima:** situazione in cui si verifica la pressione minima nel nodo.**Cont.:** nome breve della condizione o combinazione di carico a cui si riferisce la pressione minima.**uz:** spostamento massimo verticale del nodo. [cm]**Valore:** pressione minima sul terreno del nodo. [daN/cm²]**Pressione massima:** situazione in cui si verifica la pressione massima nel nodo.**Cont.:** nome breve della condizione o combinazione di carico a cui si riferisce la pressione massima.**uz:** spostamento minimo verticale del nodo. [cm]**Valore:** pressione massima sul terreno del nodo. [daN/cm²]

Compressione estrema massima -1.05343 al nodo di indice 317, di coordinate x = 960, y = 690, z = -400, nel contesto SLU 16.

Spostamento estremo minimo -0.35114 al nodo di indice 317, di coordinate x = 960, y = 690, z = -400, nel contesto SLU 16.

Spostamento estremo massimo -0.178 al nodo di indice 163, di coordinate x = 979, y = 341, z = -400, nel contesto SLU 1.

Relazione sulle fondazioni

Nodo Ind.	Pressione minima			Pressione massima		
	Cont.	uz	Valore	Cont.	uz	Valore
2	SLU 16	-0.34184	-1.02553	SLU 1	-0.20004	-0.60011
3	SLU 16	-0.34206	-1.02619	SLU 1	-0.20035	-0.60105
4	SLU 16	-0.34274	-1.02821	SLU 1	-0.20072	-0.60216
5	SLU 16	-0.34357	-1.03072	SLU 1	-0.20096	-0.60288
6	SLU 16	-0.34434	-1.03301	SLU 1	-0.20118	-0.60353
7	SLU 16	-0.3448	-1.03439	SLU 1	-0.20133	-0.604
8	SLU 16	-0.3448	-1.0344	SLU 1	-0.20136	-0.60409
9	SLU 16	-0.34438	-1.03315	SLU 1	-0.20126	-0.60379
10	SLU 16	-0.34378	-1.03135	SLU 1	-0.20114	-0.60341
11	SLU 16	-0.3433	-1.02991	SLU 1	-0.20106	-0.60319
12	SLU 16	-0.34314	-1.02942	SLU 1	-0.20105	-0.60316
13	SLU 16	-0.34343	-1.03028	SLU 1	-0.20111	-0.60332
14	SLU 16	-0.34403	-1.03209	SLU 1	-0.20121	-0.60363
15	SLU 16	-0.34465	-1.03395	SLU 1	-0.20134	-0.60402
16	SLU 16	-0.34496	-1.03487	SLU 1	-0.20141	-0.60424
17	SLU 16	-0.34475	-1.03426	SLU 1	-0.20136	-0.60407
18	SLU 16	-0.34414	-1.03243	SLU 1	-0.20122	-0.60367
19	SLU 16	-0.34333	-1.02998	SLU 1	-0.20104	-0.60313
20	SLU 16	-0.34263	-1.02788	SLU 1	-0.20069	-0.60207
21	SLU 16	-0.34245	-1.02736	SLU 1	-0.2004	-0.60121
22	SLU 16	-0.34235	-1.02706	SLU 1	-0.20046	-0.60138
23	SLU 16	-0.34233	-1.02699	SLU 1	-0.20074	-0.60221
24	SLU 16	-0.3422	-1.0266	SLU 1	-0.20087	-0.60262
25	SLU 16	-0.34191	-1.02574	SLU 1	-0.20074	-0.60223
26	SLU 16	-0.34169	-1.02508	SLU 1	-0.2006	-0.6018
27	SLU 16	-0.34163	-1.0249	SLU 1	-0.20055	-0.60164
28	SLU 16	-0.34174	-1.02521	SLU 1	-0.20059	-0.60176
29	SLU 16	-0.342	-1.02599	SLU 1	-0.20073	-0.60219
30	SLU 16	-0.34242	-1.02725	SLU 1	-0.20096	-0.60287
31	SLU 16	-0.3429	-1.02869	SLU 1	-0.2012	-0.60361
32	SLU 16	-0.34313	-1.0294	SLU 1	-0.20131	-0.60392
33	SLU 16	-0.34295	-1.02884	SLU 1	-0.20123	-0.6037
34	SLU 16	-0.34251	-1.02754	SLU 1	-0.20101	-0.60304
35	SLU 16	-0.34215	-1.02644	SLU 1	-0.20082	-0.60245
36	SLU 16	-0.34197	-1.02591	SLU 1	-0.20073	-0.60218
37	SLU 16	-0.34194	-1.02581	SLU 1	-0.20072	-0.60217
38	SLU 16	-0.34205	-1.02614	SLU 1	-0.20081	-0.60244
39	SLU 16	-0.34235	-1.02704	SLU 1	-0.20101	-0.60302
40	SLU 16	-0.34271	-1.02813	SLU 1	-0.20118	-0.60355
41	SLU 16	-0.34291	-1.02873	SLU 1	-0.20109	-0.60327
42	SLU 16	-0.343	-1.029	SLU 1	-0.20085	-0.60254
43	SLU 16	-0.3357	-1.0071	SLU 1	-0.19789	-0.59367
44	SLU 16	-0.33542	-1.00627	SLU 1	-0.19781	-0.59344
45	SLU 16	-0.33678	-1.01035	SLU 1	-0.19836	-0.59509
46	SLU 16	-0.33593	-1.00779	SLU 1	-0.19812	-0.59436
47	SLU 16	-0.3384	-1.01519	SLU 1	-0.1991	-0.59731
48	SLU 16	-0.33722	-1.01166	SLU 1	-0.19881	-0.59643
49	SLU 16	-0.34267	-1.02801	SLU 1	-0.20106	-0.60317
50	SLU 16	-0.34002	-1.02006	SLU 1	-0.20012	-0.60036
51	SLU 16	-0.3366	-1.0098	SLU 1	-0.19846	-0.59537
52	SLU 16	-0.33396	-1.00188	SLU 1	-0.19707	-0.59121
53	SLU 16	-0.3327	-0.99809	SLU 1	-0.19635	-0.58905
54	SLU 16	-0.33299	-0.99897	SLU 1	-0.19642	-0.58927
55	SLU 16	-0.33479	-1.00438	SLU 1	-0.19728	-0.59184
56	SLU 16	-0.3378	-1.0134	SLU 1	-0.19876	-0.59627
57	SLU 16	-0.34119	-1.02357	SLU 1	-0.20044	-0.60132
58	SLU 16	-0.34306	-1.02919	SLU 1	-0.20136	-0.60408
59	SLU 16	-0.34068	-1.02203	SLU 1	-0.20017	-0.60051
60	SLU 16	-0.34306	-1.02919	SLU 1	-0.20099	-0.60297
61	SLU 16	-0.34327	-1.02982	SLU 1	-0.20143	-0.60429
62	SLU 16	-0.3442	-1.03259	SLU 1	-0.20143	-0.60429
63	SLU 16	-0.33949	-1.01848	SLU 1	-0.19995	-0.59984
64	SLU 16	-0.34361	-1.03084	SLU 1	-0.20104	-0.60311
65	SLU 16	-0.32681	-0.98043	SLU 1	-0.19304	-0.57911
66	SLU 16	-0.32934	-0.98802	SLU 1	-0.19425	-0.58276
67	SLU 16	-0.32621	-0.97863	SLU 1	-0.19284	-0.57853
68	SLU 16	-0.33289	-0.99866	SLU 1	-0.19602	-0.58807
69	SLU 16	-0.32767	-0.98302	SLU 1	-0.19372	-0.58117
70	SLU 16	-0.33595	-1.00784	SLU 1	-0.19757	-0.59271
71	SLU 16	-0.33056	-0.99169	SLU 1	-0.19532	-0.58597
72	SLU 16	-0.33356	-1.00067	SLU 1	-0.19692	-0.59075
73	SLU 16	-0.34355	-1.03066	SLU 1	-0.20117	-0.60352
74	SLU 16	-0.34285	-1.02855	SLU 1	-0.20113	-0.6034
75	SLU 16	-0.33692	-1.01077	SLU 1	-0.19861	-0.59582
76	SLU 16	-0.32932	-0.98796	SLU 1	-0.19462	-0.58386
77	SLU 16	-0.32342	-0.97027	SLU 1	-0.19134	-0.57402
78	SLU 16	-0.32055	-0.96164	SLU 1	-0.18962	-0.56886
79	SLU 16	-0.32108	-0.96323	SLU 1	-0.18974	-0.56921
80	SLU 16	-0.32491	-0.97472	SLU 1	-0.19165	-0.57496
81	SLU 16	-0.33138	-0.99413	SLU 1	-0.19504	-0.58511
82	SLU 16	-0.33869	-1.01608	SLU 1	-0.19892	-0.59676
83	SLU 16	-0.3427	-1.0281	SLU 1	-0.20106	-0.60319
84	SLU 16	-0.33954	-1.01861	SLU 1	-0.19934	-0.59803
85	SLU 16	-0.34346	-1.03037	SLU 1	-0.20149	-0.60447
86	SLU 16	-0.34558	-1.03673	SLU 1	-0.20189	-0.60567
87	SLU 16	-0.33383	-1.00149	SLU 1	-0.19622	-0.58867
88	SLU 16	-0.33768	-1.01304	SLU 1	-0.19901	-0.59702
89	SLU 16	-0.32709	-0.98128	SLU 1	-0.1926	-0.5778
90	SLU 16	-0.32116	-0.96348	SLU 1	-0.18948	-0.56844
91	SLU 16	-0.31688	-0.95065	SLU 1	-0.18731	-0.56193
92	SLU 16	-0.31589	-0.94768	SLU 1	-0.18696	-0.56088
93	SLU 16	-0.31834	-0.95501	SLU 1	-0.18847	-0.56542
94	SLU 16	-0.33049	-0.99147	SLU 1	-0.19526	-0.58577
95	SLU 16	-0.34505	-1.03515	SLU 1	-0.20148	-0.60445
96	SLU 16	-0.3234	-0.97021	SLU 1	-0.19137	-0.5741
97	SLU 16	-0.34426	-1.03277	SLU 1	-0.2014	-0.60419
98	SLU 16	-0.34307	-1.02922	SLU 1	-0.20119	-0.60356
99	SLU 16	-0.33432	-1.00295	SLU 1	-0.19723	-0.59168
100	SLU 16	-0.32308	-0.96924	SLU 1	-0.19115	-0.57346

Relazione sulle fondazioni

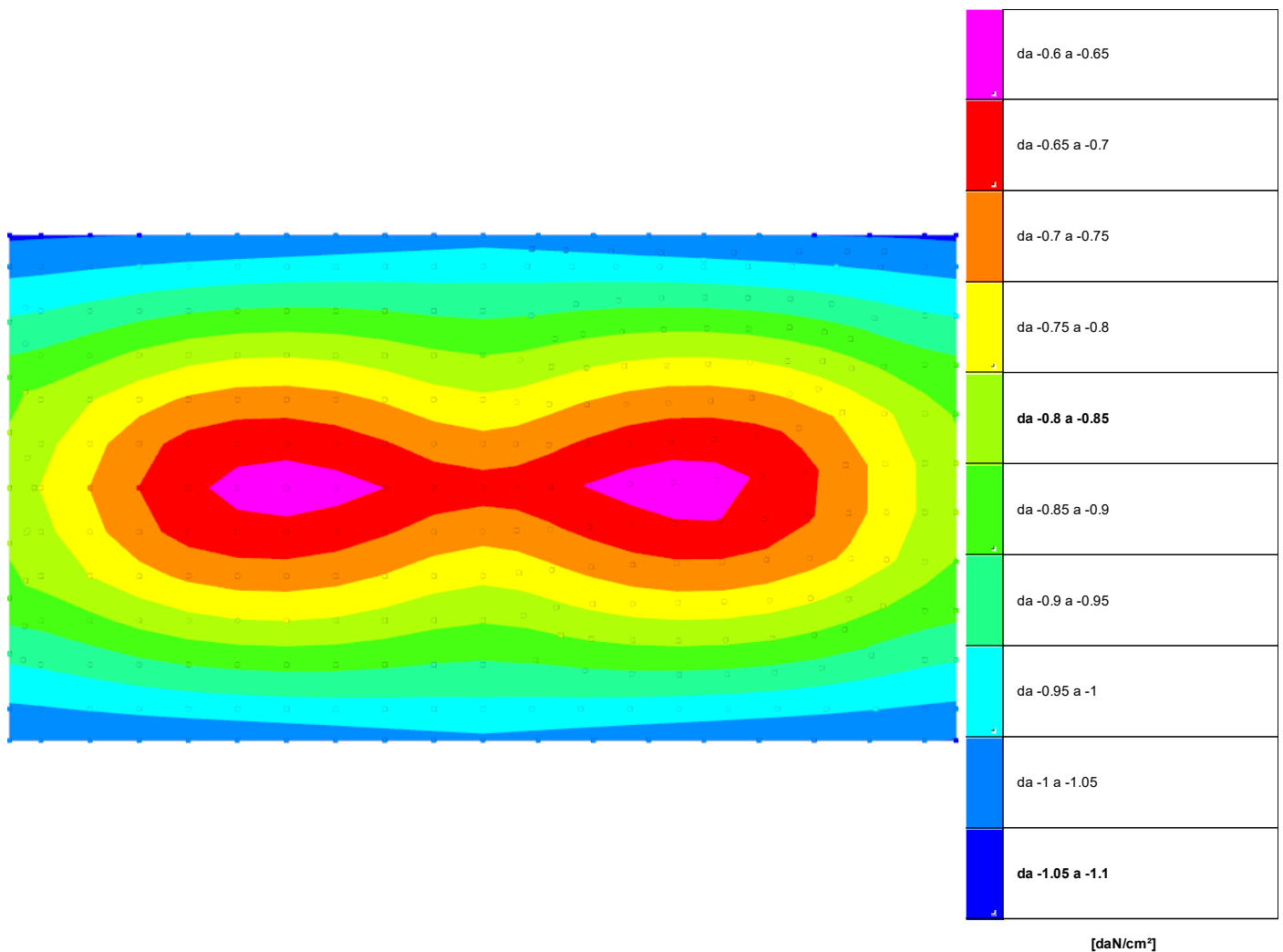
Nodo Ind.	Pressione minima			Pressione massima		
	Cont.	uz	Valore	Cont.	uz	Valore
101	SLU 16	-0.31426	-0.94278	SLU 1	-0.18612	-0.55836
102	SLU 16	-0.3099	-0.92971	SLU 1	-0.18346	-0.55037
103	SLU 16	-0.31064	-0.93193	SLU 1	-0.18361	-0.55083
104	SLU 16	-0.31633	-0.94899	SLU 1	-0.18654	-0.55962
105	SLU 16	-0.32592	-0.97775	SLU 1	-0.1917	-0.57509
106	SLU 16	-0.33666	-1.00997	SLU 1	-0.19758	-0.59273
107	SLU 16	-0.34242	-1.02726	SLU 1	-0.20077	-0.6023
108	SLU 16	-0.33888	-1.01665	SLU 1	-0.19879	-0.59636
109	SLU 16	-0.33192	-0.99575	SLU 1	-0.19493	-0.58479
110	SLU 16	-0.32266	-0.96798	SLU 1	-0.18986	-0.56957
111	SLU 16	-0.3142	-0.9426	SLU 1	-0.1853	-0.55589
112	SLU 16	-0.30866	-0.92599	SLU 1	-0.18242	-0.54727
113	SLU 16	-0.30719	-0.92157	SLU 1	-0.18185	-0.54555
114	SLU 16	-0.3437	-1.0311	SLU 1	-0.20154	-0.60462
115	SLU 16	-0.34692	-1.04075	SLU 1	-0.20234	-0.60701
116	SLU 16	-0.31033	-0.931	SLU 1	-0.18384	-0.55152
117	SLU 16	-0.33652	-1.00956	SLU 1	-0.19836	-0.59508
118	SLU 16	-0.31764	-0.95292	SLU 1	-0.18809	-0.56427
119	SLU 16	-0.32746	-0.98239	SLU 1	-0.19357	-0.58072
120	SLU 16	-0.34647	-1.03941	SLU 1	-0.20197	-0.60591
121	SLU 16	-0.34506	-1.03518	SLU 1	-0.2017	-0.60511
122	SLU 16	-0.34337	-1.03012	SLU 1	-0.20128	-0.60383
123	SLU 16	-0.3328	-0.99839	SLU 1	-0.19638	-0.58915
124	SLU 16	-0.31919	-0.95756	SLU 1	-0.18893	-0.56679
125	SLU 16	-0.30842	-0.92526	SLU 1	-0.18271	-0.54813
126	SLU 16	-0.30306	-0.90919	SLU 1	-0.1794	-0.53821
127	SLU 16	-0.30395	-0.91185	SLU 1	-0.17959	-0.53876
128	SLU 16	-0.31089	-0.93268	SLU 1	-0.18321	-0.54963
129	SLU 16	-0.32257	-0.96772	SLU 1	-0.18958	-0.56873
130	SLU 16	-0.33556	-1.00669	SLU 1	-0.19679	-0.59037
131	SLU 16	-0.34245	-1.02735	SLU 1	-0.20066	-0.60197
132	SLU 16	-0.34495	-1.03486	SLU 1	-0.20168	-0.60504
133	SLU 16	-0.33869	-1.01607	SLU 1	-0.19853	-0.59556
134	SLU 16	-0.33076	-0.99228	SLU 1	-0.19409	-0.58228
135	SLU 16	-0.32003	-0.96008	SLU 1	-0.18815	-0.56446
136	SLU 16	-0.31008	-0.93023	SLU 1	-0.18274	-0.54822
137	SLU 16	-0.30369	-0.91107	SLU 1	-0.17939	-0.53818
138	SLU 16	-0.30194	-0.90583	SLU 1	-0.1787	-0.53609
139	SLU 16	-0.30558	-0.91673	SLU 1	-0.18102	-0.54307
140	SLU 16	-0.31408	-0.94224	SLU 1	-0.18601	-0.55804
141	SLU 16	-0.32484	-0.97451	SLU 1	-0.19208	-0.57624
142	SLU 16	-0.34412	-1.03236	SLU 1	-0.20169	-0.60506
143	SLU 16	-0.34797	-1.04392	SLU 1	-0.20273	-0.6082
144	SLU 16	-0.3359	-1.0077	SLU 1	-0.19799	-0.59398
146	SLU 16	-0.34746	-1.04239	SLU 1	-0.20237	-0.6071
147	SLU 16	-0.34471	-1.03413	SLU 1	-0.20171	-0.60512
148	SLU 16	-0.34386	-1.03158	SLU 1	-0.20148	-0.60443
149	SLU 16	-0.33259	-0.99777	SLU 1	-0.19623	-0.58868
150	SLU 16	-0.31815	-0.95444	SLU 1	-0.18829	-0.56487
151	SLU 16	-0.3067	-0.92009	SLU 1	-0.18165	-0.54495
152	SLU 16	-0.30099	-0.90297	SLU 1	-0.17812	-0.53435
153	SLU 16	-0.30193	-0.90579	SLU 1	-0.17831	-0.53493
154	SLU 16	-0.30933	-0.92798	SLU 1	-0.18219	-0.54656
155	SLU 16	-0.32175	-0.96525	SLU 1	-0.18898	-0.56695
156	SLU 16	-0.33554	-1.00661	SLU 1	-0.19667	-0.59001
157	SLU 16	-0.34281	-1.02844	SLU 1	-0.20077	-0.60231
158	SLU 16	-0.33899	-1.01697	SLU 1	-0.1986	-0.59581
159	SLU 16	-0.3305	-0.9915	SLU 1	-0.19384	-0.58152
160	SLU 16	-0.31951	-0.95853	SLU 1	-0.18775	-0.56324
161	SLU 16	-0.30939	-0.92817	SLU 1	-0.18223	-0.54668
162	SLU 16	-0.30272	-0.90815	SLU 1	-0.17872	-0.53617
163	SLU 16	-0.30091	-0.90273	SLU 1	-0.178	-0.53401
164	SLU 16	-0.30453	-0.91358	SLU 1	-0.18033	-0.541
165	SLU 16	-0.31318	-0.93953	SLU 1	-0.18543	-0.55628
166	SLU 16	-0.32441	-0.97323	SLU 1	-0.19178	-0.57534
167	SLU 16	-0.3361	-1.00829	SLU 1	-0.19805	-0.59416
168	SLU 16	-0.34469	-1.03408	SLU 1	-0.20194	-0.60581
169	SLU 16	-0.34856	-1.04567	SLU 1	-0.20299	-0.60897
170	SLU 16	-0.34585	-1.03754	SLU 1	-0.20206	-0.60618
171	SLU 16	-0.33209	-0.99628	SLU 1	-0.19471	-0.58414
172	SLU 16	-0.32164	-0.96491	SLU 1	-0.18894	-0.56682
173	SLU 16	-0.33989	-1.01967	SLU 1	-0.19907	-0.59721
174	SLU 16	-0.34442	-1.03326	SLU 1	-0.20173	-0.6052
175	SLU 16	-0.33377	-1.0013	SLU 1	-0.1968	-0.59041
176	SLU 16	-0.32011	-0.96032	SLU 1	-0.18933	-0.56798
177	SLU 16	-0.30931	-0.92794	SLU 1	-0.18309	-0.54928
178	SLU 16	-0.30395	-0.91184	SLU 1	-0.17978	-0.53935
179	SLU 16	-0.30484	-0.91453	SLU 1	-0.17997	-0.53991
180	SLU 16	-0.31182	-0.93545	SLU 1	-0.18361	-0.55083
181	SLU 16	-0.32355	-0.97064	SLU 1	-0.19	-0.56999
182	SLU 16	-0.33659	-1.00978	SLU 1	-0.19724	-0.59171
183	SLU 16	-0.34351	-1.03052	SLU 1	-0.20111	-0.60333
184	SLU 16	-0.31214	-0.93641	SLU 1	-0.18378	-0.55135
185	SLU 16	-0.30586	-0.91758	SLU 1	-0.1805	-0.54151
186	SLU 16	-0.30422	-0.91265	SLU 1	-0.17986	-0.53957
187	SLU 16	-0.30746	-0.92238	SLU 1	-0.18195	-0.54584
188	SLU 16	-0.34794	-1.04382	SLU 1	-0.20262	-0.60786
189	SLU 16	-0.31521	-0.94563	SLU 1	-0.1865	-0.55949
190	SLU 16	-0.3454	-1.03621	SLU 1	-0.20228	-0.60683
191	SLU 16	-0.34866	-1.04598	SLU 1	-0.2031	-0.60929
192	SLU 16	-0.33772	-1.01315	SLU 1	-0.19885	-0.59654
193	SLU 16	-0.3272	-0.98161	SLU 1	-0.19324	-0.57971
194	SLU 16	-0.32582	-0.97747	SLU 1	-0.19139	-0.57416
195	SLU 16	-0.31788	-0.95363	SLU 1	-0.18712	-0.56137
196	SLU 16	-0.33448	-1.00343	SLU 1	-0.19611	-0.58833
197	SLU 16	-0.31259	-0.93778	SLU 1	-0.18439	-0.55318
198	SLU 16	-0.34118	-1.02353	SLU 1	-0.1998	-0.59941
199	SLU 16	-0.31114	-0.93342	SLU 1	-0.18382	-0.55146
200	SLU 16	-0.34512	-1.03536	SLU 1	-0.20207	-0.60622

Relazione sulle fondazioni

Nodo Ind.	Pressione minima			Pressione massima		
	Cont.	uz	Valore	Cont.	uz	Valore
201	SLU 16	-0.33628	-1.00885	SLU 1	-0.19808	-0.59424
202	SLU 16	-0.32496	-0.97489	SLU 1	-0.19197	-0.57591
203	SLU 16	-0.3161	-0.9483	SLU 1	-0.18691	-0.56074
204	SLU 16	-0.31173	-0.93518	SLU 1	-0.18424	-0.55273
205	SLU 16	-0.31249	-0.93746	SLU 1	-0.18441	-0.55322
206	SLU 16	-0.31822	-0.95466	SLU 1	-0.18736	-0.56207
207	SLU 16	-0.32789	-0.98368	SLU 1	-0.19255	-0.57765
208	SLU 16	-0.33873	-1.01619	SLU 1	-0.19847	-0.59542
209	SLU 16	-0.34453	-1.0336	SLU 1	-0.20167	-0.60502
210	SLU 16	-0.31362	-0.94087	SLU 1	-0.18542	-0.55627
211	SLU 16	-0.319	-0.957	SLU 1	-0.18857	-0.56571
212	SLU 16	-0.34657	-1.03972	SLU 1	-0.20242	-0.60726
213	SLU 16	-0.32495	-0.97485	SLU 1	-0.19193	-0.5758
214	SLU 16	-0.34784	-1.04353	SLU 1	-0.20271	-0.60812
215	SLU 16	-0.33445	-1.00334	SLU 1	-0.19709	-0.59128
216	SLU 16	-0.33133	-0.994	SLU 1	-0.1946	-0.58379
217	SLU 16	-0.33756	-1.01269	SLU 1	-0.19793	-0.5938
218	SLU 16	-0.34061	-1.02184	SLU 1	-0.20028	-0.60083
219	SLU 16	-0.32599	-0.97797	SLU 1	-0.19181	-0.57543
220	SLU 16	-0.32193	-0.9658	SLU 1	-0.18976	-0.56927
221	SLU 16	-0.34628	-1.03883	SLU 1	-0.20271	-0.60812
222	SLU 16	-0.34846	-1.04537	SLU 1	-0.20314	-0.60942
223	SLU 16	-0.32068	-0.96205	SLU 1	-0.18925	-0.56775
224	SLU 16	-0.32249	-0.96746	SLU 1	-0.1904	-0.5712
225	SLU 16	-0.33058	-0.99174	SLU 1	-0.19499	-0.58496
226	SLU 16	-0.32594	-0.97782	SLU 1	-0.1924	-0.5772
227	SLU 16	-0.34288	-1.02865	SLU 1	-0.20081	-0.60243
228	SLU 16	-0.34594	-1.03782	SLU 1	-0.20247	-0.60742
229	SLU 16	-0.33993	-1.01978	SLU 1	-0.19991	-0.59972
230	SLU 16	-0.33224	-0.99672	SLU 1	-0.19588	-0.58765
231	SLU 16	-0.3263	-0.97889	SLU 1	-0.19258	-0.57774
232	SLU 16	-0.32341	-0.97023	SLU 1	-0.19086	-0.57257
233	SLU 16	-0.32396	-0.97188	SLU 1	-0.19098	-0.57294
234	SLU 16	-0.32785	-0.98354	SLU 1	-0.19292	-0.57877
235	SLU 16	-0.33441	-1.00322	SLU 1	-0.19634	-0.58903
236	SLU 16	-0.34183	-1.02549	SLU 1	-0.20027	-0.60082
237	SLU 16	-0.34587	-1.03762	SLU 1	-0.20243	-0.60728
238	SLU 16	-0.34693	-1.0408	SLU 1	-0.20267	-0.608
239	SLU 16	-0.33838	-1.01513	SLU 1	-0.19912	-0.59735
240	SLU 16	-0.34028	-1.02084	SLU 1	-0.19951	-0.59854
241	SLU 16	-0.33769	-1.01307	SLU 1	-0.1982	-0.59461
242	SLU 16	-0.33658	-1.00974	SLU 1	-0.19816	-0.59447
243	SLU 16	-0.33433	-1.00298	SLU 1	-0.19652	-0.58957
244	SLU 16	-0.33223	-0.9967	SLU 1	-0.19553	-0.5866
245	SLU 16	-0.33195	-0.99584	SLU 1	-0.19559	-0.58677
246	SLU 16	-0.33141	-0.99422	SLU 1	-0.19521	-0.58563
247	SLU 16	-0.33449	-1.00348	SLU 1	-0.19701	-0.59104
248	SLU 16	-0.34758	-1.04274	SLU 1	-0.20276	-0.60827
249	SLU 16	-0.34366	-1.03099	SLU 1	-0.20174	-0.60523
250	SLU 16	-0.34725	-1.04174	SLU 1	-0.20314	-0.60943
251	SLU 16	-0.34821	-1.04463	SLU 1	-0.20317	-0.60951
252	SLU 16	-0.34503	-1.03509	SLU 1	-0.20205	-0.60616
253	SLU 16	-0.34679	-1.04037	SLU 1	-0.20284	-0.60852
254	SLU 16	-0.34411	-1.03232	SLU 1	-0.20189	-0.60567
255	SLU 16	-0.34063	-1.02189	SLU 1	-0.2002	-0.6006
256	SLU 16	-0.33796	-1.01389	SLU 1	-0.1988	-0.5964
257	SLU 16	-0.3367	-1.0101	SLU 1	-0.19808	-0.59424
258	SLU 16	-0.33702	-1.01106	SLU 1	-0.19816	-0.59449
259	SLU 16	-0.33887	-1.01661	SLU 1	-0.19904	-0.59711
260	SLU 16	-0.34194	-1.02582	SLU 1	-0.20054	-0.60163
261	SLU 16	-0.34541	-1.03623	SLU 1	-0.20226	-0.60677
262	SLU 16	-0.34731	-1.04193	SLU 1	-0.20319	-0.60956
263	SLU 16	-0.34721	-1.04164	SLU 1	-0.20283	-0.60849
264	SLU 16	-0.34241	-1.02723	SLU 1	-0.20109	-0.60328
265	SLU 16	-0.34336	-1.03008	SLU 1	-0.20127	-0.60381
266	SLU 16	-0.34192	-1.02575	SLU 1	-0.2006	-0.60181
267	SLU 16	-0.34155	-1.02466	SLU 1	-0.20062	-0.60186
268	SLU 16	-0.34074	-1.02222	SLU 1	-0.20017	-0.60052
269	SLU 16	-0.3411	-1.0233	SLU 1	-0.20025	-0.60074
270	SLU 16	-0.34056	-1.02168	SLU 1	-0.20003	-0.60009
271	SLU 16	-0.3475	-1.0425	SLU 1	-0.20268	-0.60804
272	SLU 16	-0.3475	-1.04251	SLU 1	-0.20298	-0.60893
273	SLU 16	-0.34737	-1.04212	SLU 1	-0.20311	-0.60934
274	SLU 16	-0.34708	-1.04124	SLU 1	-0.20298	-0.60893
275	SLU 16	-0.34687	-1.0406	SLU 1	-0.20284	-0.60851
276	SLU 16	-0.34682	-1.04047	SLU 1	-0.20279	-0.60836
277	SLU 16	-0.34695	-1.04084	SLU 1	-0.20284	-0.60851
278	SLU 16	-0.34724	-1.04171	SLU 1	-0.20299	-0.60897
279	SLU 16	-0.34769	-1.04307	SLU 1	-0.20323	-0.60969
280	SLU 16	-0.34821	-1.04462	SLU 1	-0.20349	-0.61047
281	SLU 16	-0.34845	-1.04536	SLU 1	-0.2036	-0.61079
282	SLU 16	-0.3483	-1.0449	SLU 1	-0.20354	-0.61063
283	SLU 16	-0.34789	-1.04367	SLU 1	-0.20334	-0.61002
284	SLU 16	-0.34751	-1.04254	SLU 1	-0.20315	-0.60944
285	SLU 16	-0.34723	-1.04168	SLU 1	-0.203	-0.609
286	SLU 16	-0.34714	-1.04141	SLU 1	-0.20297	-0.6089
287	SLU 16	-0.34712	-1.04137	SLU 1	-0.20298	-0.60895
288	SLU 16	-0.34726	-1.04177	SLU 1	-0.20308	-0.60925
289	SLU 16	-0.34755	-1.04264	SLU 1	-0.20326	-0.60979
290	SLU 16	-0.34788	-1.04363	SLU 1	-0.20341	-0.61023
291	SLU 16	-0.34805	-1.04415	SLU 1	-0.20331	-0.60994
292	SLU 16	-0.34814	-1.04442	SLU 1	-0.20308	-0.60923
293	SLU 16	-0.34808	-1.04423	SLU 1	-0.20326	-0.60979
294	SLU 16	-0.34893	-1.0468	SLU 1	-0.20352	-0.61057
295	SLU 16	-0.34892	-1.04677	SLU 1	-0.20352	-0.61055
296	SLU 16	-0.34906	-1.04719	SLU 1	-0.20356	-0.61068
297	SLU 16	-0.34888	-1.04665	SLU 1	-0.20354	-0.61063
298	SLU 16	-0.34887	-1.0466	SLU 1	-0.2035	-0.61049
299	SLU 16	-0.34866	-1.04599	SLU 1	-0.20353	-0.6106

Nodo Ind.	Pressione minima			Pressione massima		
	Cont.	uz	Valore	Cont.	uz	Valore
300	SLU 16	-0.34848	-1.04544	SLU 1	-0.20349	-0.61047
301	SLU 16	-0.3488	-1.0464	SLU 1	-0.20353	-0.61058
302	SLU 16	-0.34885	-1.04654	SLU 1	-0.20359	-0.61076
303	SLU 16	-0.34768	-1.04304	SLU 1	-0.20255	-0.60766
304	SLU 16	-0.34796	-1.04387	SLU 1	-0.2029	-0.6087
305	SLU 16	-0.34867	-1.04601	SLU 1	-0.20329	-0.60987
306	SLU 16	-0.34953	-1.04858	SLU 1	-0.20354	-0.61061
307	SLU 16	-0.35032	-1.05095	SLU 1	-0.20376	-0.61129
308	SLU 16	-0.3508	-1.0524	SLU 1	-0.20393	-0.6118
309	SLU 16	-0.35083	-1.05248	SLU 1	-0.20397	-0.6119
310	SLU 16	-0.35043	-1.05129	SLU 1	-0.20387	-0.61162
311	SLU 16	-0.34985	-1.04954	SLU 1	-0.20375	-0.61125
312	SLU 16	-0.34938	-1.04815	SLU 1	-0.20369	-0.61106
313	SLU 16	-0.34922	-1.04766	SLU 1	-0.20367	-0.61102
314	SLU 16	-0.34946	-1.04837	SLU 1	-0.2037	-0.61109
315	SLU 16	-0.35003	-1.05008	SLU 1	-0.2038	-0.61141
316	SLU 16	-0.35076	-1.05229	SLU 1	-0.20403	-0.61208
317	SLU 16	-0.35114	-1.05343	SLU 1	-0.20416	-0.61247
318	SLU 16	-0.351	-1.05299	SLU 1	-0.20412	-0.61237
319	SLU 16	-0.35023	-1.05069	SLU 1	-0.20389	-0.61167
320	SLU 16	-0.34927	-1.04782	SLU 1	-0.20362	-0.61086
321	SLU 16	-0.3485	-1.04549	SLU 1	-0.20323	-0.60969
322	SLU 16	-0.3483	-1.04491	SLU 1	-0.20294	-0.60881

5.3 Pressioni terreno in SLV/SLVf/SLUEcc



Rappresentazione in pianta delle massime compressioni sul terreno in famiglie SLV/SLVf/SLUEcc.

Nodo: Nodo che interagisce col terreno.

Ind.: indice del nodo.

Pressione minima: situazione in cui si verifica la pressione minima nel nodo.

Cont.: nome breve della condizione o combinazione di carico a cui si riferisce la pressione minima.

uz: spostamento massimo verticale del nodo. [cm]

Valore: pressione minima sul terreno del nodo. [daN/cm²]

Pressione massima: situazione in cui si verifica la pressione massima nel nodo.

Cont.: nome breve della condizione o combinazione di carico a cui si riferisce la pressione massima.

uz: spostamento minimo verticale del nodo. [cm]

Valore: pressione massima sul terreno del nodo. [daN/cm²]

Compressione estrema massima -1.0244 al nodo di indice 322, di coordinate x = 1320, y = 690, z = -400, nel contesto SLV 11.

Spostamento estremo minimo -0.34147 al nodo di indice 322, di coordinate x = 1320, y = 690, z = -400, nel contesto SLV 11.

Spostamento estremo massimo -0.11128 al nodo di indice 2, di coordinate x = -30, y = -30, z = -400, nel contesto SLV 12.

Nodo	Pressione minima			Pressione massima		
Ind.	Cont.	uz	Valore	Cont.	uz	Valore
2	SLV 5	-0.33848	-1.01543	SLV 12	-0.11128	-0.33384
3	SLV 5	-0.33766	-1.01297	SLV 12	-0.1127	-0.3381
4	SLV 5	-0.33676	-1.01029	SLV 12	-0.11436	-0.34307
5	SLV 5	-0.33615	-1.00846	SLV 12	-0.1155	-0.3465
6	SLV 5	-0.33553	-1.00659	SLV 12	-0.11661	-0.34983
7	SLV 5	-0.3346	-1.0038	SLV 12	-0.11789	-0.35366
8	SLV 5	-0.33322	-0.99967	SLV 12	-0.11931	-0.35794
9	SLV 5	-0.33144	-0.99432	SLV 12	-0.12087	-0.36262
10	SLV 5	-0.3295	-0.98849	SLV 12	-0.12251	-0.36753
11	SLV 5	-0.32779	-0.98338	SLV 12	-0.12403	-0.37209
12	SLV 9	-0.32651	-0.97953	SLV 8	-0.12527	-0.37582
13	SLV 10	-0.32816	-0.98447	SLV 7	-0.12376	-0.37127
14	SLV 10	-0.33019	-0.99058	SLV 7	-0.12198	-0.36594
15	SLV 10	-0.33234	-0.99701	SLV 7	-0.12014	-0.36043
16	SLV 10	-0.33418	-1.00255	SLV 7	-0.11846	-0.35539
17	SLV 10	-0.33555	-1.00665	SLV 7	-0.11697	-0.35091
18	SLV 10	-0.33651	-1.00954	SLV 7	-0.1157	-0.34709
19	SLV 10	-0.3373	-1.0119	SLV 7	-0.11449	-0.34346
20	SLV 10	-0.33834	-1.01501	SLV 7	-0.11272	-0.33816
21	SLV 10	-0.33918	-1.01755	SLV 7	-0.11132	-0.33395
22	SLV 5	-0.32586	-0.97758	SLV 12	-0.12474	-0.37421
23	SLV 5	-0.32473	-0.97418	SLV 12	-0.12638	-0.37913
24	SLV 5	-0.32262	-0.96787	SLV 12	-0.12873	-0.38618
25	SLV 5	-0.32046	-0.96139	SLV 12	-0.13061	-0.39183
26	SLV 5	-0.31858	-0.95573	SLV 12	-0.13221	-0.39663
27	SLV 5	-0.31701	-0.95103	SLV 12	-0.13367	-0.40101
28	SLV 5	-0.31575	-0.94724	SLV 12	-0.13502	-0.40507
29	SLV 5	-0.31478	-0.94435	SLV 12	-0.13627	-0.40882
30	SLV 5	-0.31414	-0.94242	SLV 12	-0.13738	-0.41215
31	SLV 5	-0.31377	-0.94132	SLV 12	-0.13826	-0.41479
32	SLV 9	-0.31319	-0.93958	SLV 8	-0.13906	-0.41719
33	SLV 10	-0.31388	-0.94163	SLV 7	-0.13822	-0.41466
34	SLV 10	-0.3143	-0.9429	SLV 7	-0.13734	-0.41203
35	SLV 10	-0.315	-0.945	SLV 7	-0.13624	-0.40871
36	SLV 10	-0.31605	-0.94816	SLV 7	-0.135	-0.40499
37	SLV 10	-0.31739	-0.95217	SLV 7	-0.13365	-0.40096
38	SLV 10	-0.31901	-0.95703	SLV 7	-0.13221	-0.39663
39	SLV 10	-0.32098	-0.96294	SLV 7	-0.13063	-0.39189
40	SLV 10	-0.32323	-0.96968	SLV 7	-0.12875	-0.38626
41	SLV 10	-0.32541	-0.97623	SLV 7	-0.12642	-0.37925
42	SLV 10	-0.3266	-0.97981	SLV 7	-0.12478	-0.37435
43	SLV 10	-0.29518	-0.88554	SLV 7	-0.14992	-0.44976
44	SLV 10	-0.29607	-0.88822	SLV 7	-0.14885	-0.44656
45	SLV 10	-0.29482	-0.88446	SLV 7	-0.15128	-0.45384
46	SLV 10	-0.2973	-0.89191	SLV 7	-0.14825	-0.44476
47	SLV 10	-0.29408	-0.88224	SLV 7	-0.15356	-0.46069
48	SLV 10	-0.29846	-0.89538	SLV 7	-0.14852	-0.44555
49	SLV 5	-0.30682	-0.92045	SLV 12	-0.14492	-0.43477
50	SLV 5	-0.302	-0.90599	SLV 12	-0.14772	-0.44315
51	SLV 5	-0.29664	-0.88991	SLV 12	-0.14962	-0.44886
52	SLV 5	-0.2924	-0.8772	SLV 12	-0.15099	-0.45297
53	SLV 5	-0.28972	-0.86915	SLV 12	-0.1522	-0.45659
54	SLV 5	-0.28866	-0.86599	SLV 12	-0.15342	-0.46027
55	SLV 5	-0.28918	-0.86754	SLV 12	-0.15469	-0.46406
56	SLV 5	-0.29108	-0.87323	SLV 12	-0.15586	-0.46759
57	SLV 5	-0.2937	-0.8811	SLV 12	-0.15673	-0.4702
58	SLV 9	-0.29495	-0.88484	SLV 8	-0.1574	-0.4722
59	SLV 10	-0.29149	-0.87448	SLV 7	-0.15838	-0.47514
60	SLV 5	-0.30591	-0.91772	SLV 12	-0.14575	-0.43726
61	SLV 10	-0.3055	-0.9165	SLV 7	-0.147	-0.44101
62	SLV 10	-0.30756	-0.92267	SLV 7	-0.14504	-0.43513
63	SLV 10	-0.2977	-0.8931	SLV 7	-0.15163	-0.4549
64	SLV 5	-0.30432	-0.91296	SLV 12	-0.14748	-0.44245
65	SLV 10	-0.27395	-0.82184	SLV 7	-0.16117	-0.48352
66	SLV 10	-0.27508	-0.82523	SLV 7	-0.16258	-0.48774
67	SLV 10	-0.27443	-0.82329	SLV 7	-0.16026	-0.48079
68	SLV 10	-0.27679	-0.83036	SLV 7	-0.16454	-0.49361
69	SLV 10	-0.27652	-0.82955	SLV 7	-0.15997	-0.47992
70	SLV 10	-0.27769	-0.83308	SLV 7	-0.16684	-0.50052
71	SLV 10	-0.27916	-0.83749	SLV 7	-0.16061	-0.48183
72	SLV 10	-0.28103	-0.8431	SLV 7	-0.16203	-0.48608
73	SLV 5	-0.29245	-0.87735	SLV 12	-0.1596	-0.47881
74	SLV 5	-0.28906	-0.86717	SLV 12	-0.16285	-0.48854
75	SLV 5	-0.28165	-0.84495	SLV 12	-0.16491	-0.49474
76	SLV 5	-0.27303	-0.81909	SLV 12	-0.1653	-0.49591
77	SLV 5	-0.26632	-0.79897	SLV 12	-0.16527	-0.49582
78	SLV 5	-0.26246	-0.78739	SLV 12	-0.16563	-0.49688
79	SLV 5	-0.26163	-0.78489	SLV 12	-0.16673	-0.50019
80	SLV 5	-0.26372	-0.79116	SLV 12	-0.16862	-0.50587
81	SLV 5	-0.2683	-0.8049	SLV 12	-0.17103	-0.51308
82	SLV 5	-0.274	-0.82201	SLV 12	-0.17334	-0.52001
83	SLV 9	-0.277	-0.831	SLV 8	-0.17475	-0.52426
84	SLV 10	-0.27266	-0.81797	SLV 7	-0.17556	-0.52667
85	SLV 10	-0.28578	-0.85735	SLV 7	-0.16685	-0.50055
86	SLV 10	-0.2888	-0.8664	SLV 7	-0.1648	-0.4944
87	SLV 10	-0.26503	-0.79509	SLV 7	-0.17677	-0.53031
88	SLV 10	-0.27722	-0.83166	SLV 7	-0.17017	-0.5105
89	SLV 10	-0.25894	-0.77683	SLV 7	-0.17539	-0.52618
90	SLV 10	-0.25478	-0.76434	SLV 7	-0.17312	-0.51935
91	SLV 10	-0.25203	-0.75608	SLV 7	-0.17137	-0.51412
92	SLV 10	-0.25208	-0.75625	SLV 7	-0.17056	-0.51167
93	SLV 10	-0.25479	-0.76436	SLV 7	-0.17093	-0.5128
94	SLV 10	-0.26694	-0.80082	SLV 7	-0.17271	-0.51812
95	SLV 5	-0.28308	-0.84924	SLV 12	-0.16971	-0.50913
96	SLV 10	-0.25946	-0.77839	SLV 7	-0.17218	-0.51655
97	SLV 1	-0.27649	-0.82946	SLV 16	-0.17606	-0.52817

Relazione sulle fondazioni

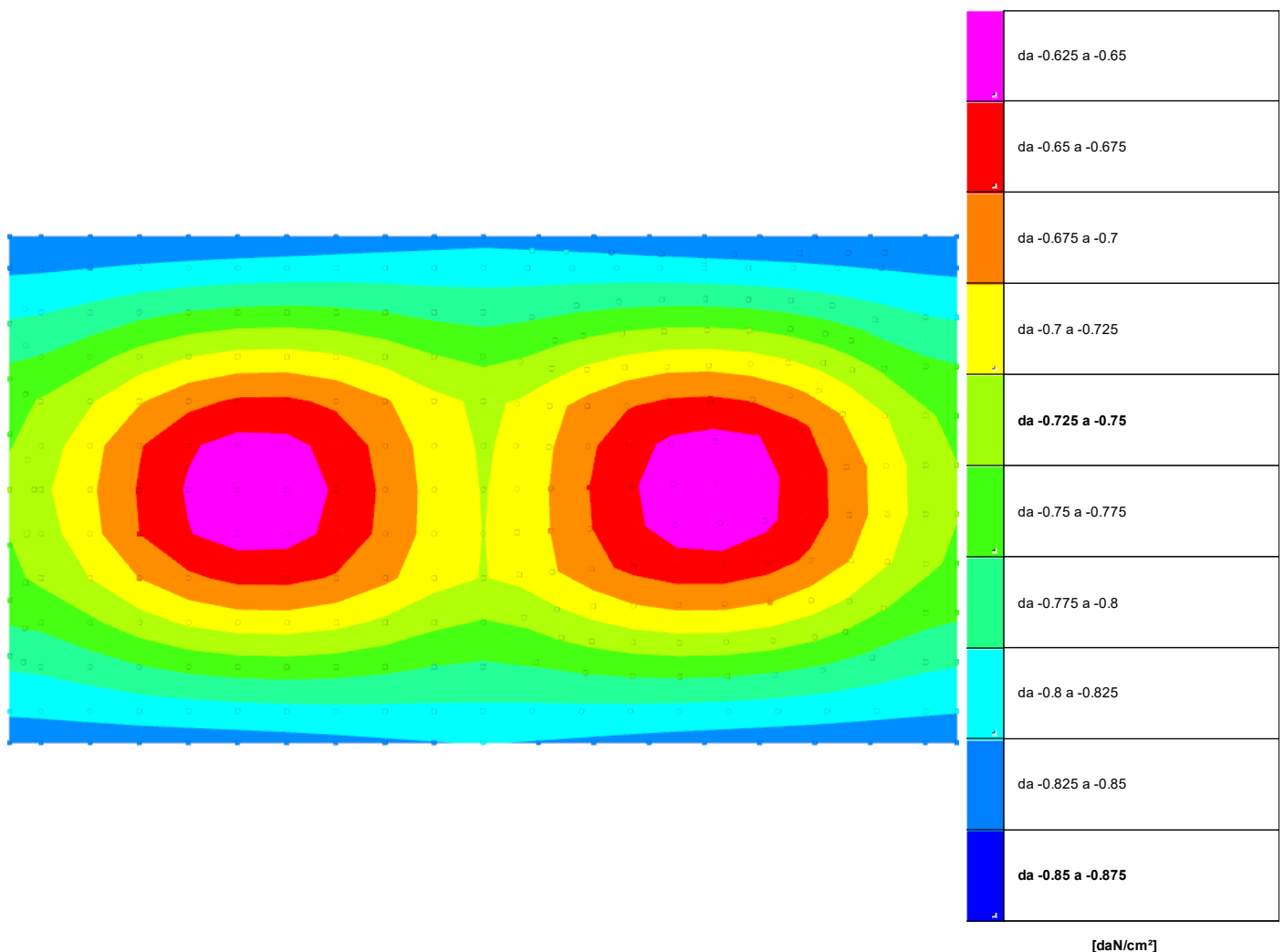
Nodo Ind.	Pressione minima			Pressione massima		
	Cont.	uz	Valore	Cont.	uz	Valore
98	SLV 1	-0.27262	-0.81787	SLV 16	-0.1794	-0.5382
99	SLV 5	-0.26259	-0.78776	SLV 12	-0.18113	-0.5434
100	SLV 5	-0.25189	-0.75568	SLV 12	-0.17932	-0.53797
101	SLV 5	-0.24348	-0.73045	SLV 12	-0.17742	-0.53226
102	SLV 5	-0.23878	-0.71634	SLV 12	-0.1767	-0.5301
103	SLV 5	-0.23812	-0.71435	SLV 12	-0.17773	-0.53319
104	SLV 5	-0.24135	-0.72404	SLV 12	-0.18056	-0.54168
105	SLV 5	-0.24778	-0.74335	SLV 12	-0.18474	-0.55423
106	SLV 5	-0.25547	-0.76641	SLV 12	-0.18915	-0.56746
107	SLV 9	-0.25948	-0.77845	SLV 8	-0.19169	-0.57507
108	SLV 9	-0.25583	-0.76749	SLV 8	-0.19128	-0.57384
109	SLV 10	-0.24969	-0.74906	SLV 7	-0.18951	-0.56852
110	SLV 10	-0.24215	-0.72644	SLV 7	-0.18661	-0.55983
111	SLV 10	-0.23598	-0.70795	SLV 7	-0.18338	-0.55014
112	SLV 10	-0.23247	-0.6974	SLV 7	-0.18096	-0.54288
113	SLV 10	-0.23195	-0.69584	SLV 7	-0.18026	-0.54077
114	SLV 14	-0.27135	-0.81405	SLV 3	-0.1814	-0.5442
115	SLV 14	-0.27887	-0.83661	SLV 3	-0.17571	-0.52713
116	SLV 10	-0.23485	-0.70455	SLV 7	-0.18139	-0.54417
117	SLV 14	-0.25992	-0.77975	SLV 3	-0.18615	-0.55845
118	SLV 10	-0.24117	-0.72351	SLV 7	-0.18376	-0.55128
119	SLV 10	-0.24994	-0.74982	SLV 7	-0.18625	-0.55875
120	SLV 1	-0.27617	-0.8285	SLV 16	-0.17768	-0.53304
121	SLV 1	-0.27115	-0.81345	SLV 16	-0.18205	-0.54615
122	SLV 1	-0.26738	-0.80213	SLV 16	-0.18485	-0.55455
123	SLV 1	-0.25223	-0.75669	SLV 16	-0.18976	-0.56927
124	SLV 1	-0.23665	-0.70996	SLV 16	-0.19001	-0.57002
125	SLV 5	-0.22472	-0.67416	SLV 12	-0.18921	-0.56763
126	SLV 5	-0.21971	-0.65914	SLV 12	-0.18749	-0.56247
127	SLV 5	-0.21914	-0.65743	SLV 12	-0.1885	-0.56549
128	SLV 5	-0.22283	-0.66849	SLV 12	-0.1923	-0.5769
129	SLV 5	-0.22993	-0.68978	SLV 12	-0.1983	-0.5949
130	SLV 5	-0.23818	-0.71453	SLV 12	-0.20486	-0.61459
131	SLV 9	-0.24241	-0.72724	SLV 8	-0.20856	-0.62568
132	SLV 1	-0.27066	-0.81199	SLV 16	-0.18248	-0.54744
133	SLV 9	-0.23957	-0.7187	SLV 8	-0.20705	-0.62115
134	SLV 10	-0.23398	-0.70193	SLV 7	-0.20353	-0.6106
135	SLV 10	-0.22654	-0.67962	SLV 7	-0.19877	-0.5963
136	SLV 10	-0.21999	-0.65998	SLV 7	-0.19417	-0.58251
137	SLV 10	-0.21618	-0.64854	SLV 7	-0.19108	-0.57323
138	SLV 10	-0.21545	-0.64636	SLV 7	-0.19032	-0.57095
139	SLV 14	-0.22007	-0.66022	SLV 3	-0.19041	-0.57124
140	SLV 14	-0.22954	-0.68862	SLV 3	-0.19114	-0.57343
141	SLV 14	-0.24098	-0.72295	SLV 3	-0.19215	-0.57644
142	SLV 14	-0.26563	-0.7969	SLV 3	-0.18744	-0.56232
143	SLV 14	-0.27376	-0.82129	SLV 3	-0.18167	-0.545
144	SLV 14	-0.25368	-0.76105	SLV 3	-0.19163	-0.5749
146	SLV 4	-0.27025	-0.81076	SLV 13	-0.18443	-0.5533
147	SLV 4	-0.26418	-0.79254	SLV 13	-0.18899	-0.56697
148	SLV 4	-0.26242	-0.78726	SLV 13	-0.19023	-0.57069
149	SLV 4	-0.24698	-0.74093	SLV 13	-0.19469	-0.58408
150	SLV 4	-0.23112	-0.69337	SLV 13	-0.19423	-0.5827
151	SLV 3	-0.21875	-0.65624	SLV 14	-0.19303	-0.5791
152	SLV 3	-0.21125	-0.63374	SLV 14	-0.19334	-0.58003
153	SLV 1	-0.20879	-0.62636	SLV 16	-0.19627	-0.5888
154	SLV 1	-0.2109	-0.63269	SLV 16	-0.20216	-0.60648
155	SLV 1	-0.21644	-0.64931	SLV 16	-0.2106	-0.6318
156	SLV 1	-0.22298	-0.66893	SLV 16	-0.21983	-0.6595
157	SLV 9	-0.22569	-0.67707	SLV 8	-0.22553	-0.6766
158	SLV 15	-0.22458	-0.67373	SLV 2	-0.22221	-0.66662
159	SLV 15	-0.22073	-0.66219	SLV 2	-0.21628	-0.64884
160	SLV 15	-0.21562	-0.64687	SLV 2	-0.20887	-0.6266
161	SLV 15	-0.21131	-0.63393	SLV 2	-0.20183	-0.60549
162	SLV 15	-0.20945	-0.62836	SLV 2	-0.19645	-0.58935
163	SLV 15	-0.21116	-0.63347	SLV 2	-0.19321	-0.57964
164	SLV 15	-0.21701	-0.65104	SLV 2	-0.19208	-0.57624
165	SLV 15	-0.22712	-0.68137	SLV 2	-0.19237	-0.57712
166	SLV 15	-0.23983	-0.7195	SLV 2	-0.19269	-0.57807
167	SLV 15	-0.25338	-0.76015	SLV 2	-0.19207	-0.5762
168	SLV 15	-0.2658	-0.79741	SLV 2	-0.18779	-0.56338
169	SLV 15	-0.27393	-0.82178	SLV 2	-0.18204	-0.54612
170	SLV 4	-0.26967	-0.80901	SLV 13	-0.18428	-0.55284
171	SLV 11	-0.23521	-0.70564	SLV 6	-0.20359	-0.61078
172	SLV 11	-0.22874	-0.68623	SLV 6	-0.1982	-0.59459
173	SLV 11	-0.24032	-0.72095	SLV 6	-0.20743	-0.6223
174	SLV 4	-0.26795	-0.80385	SLV 13	-0.18523	-0.5557
175	SLV 4	-0.25274	-0.75822	SLV 13	-0.19013	-0.57039
176	SLV 4	-0.23713	-0.71138	SLV 13	-0.19037	-0.57111
177	SLV 8	-0.22519	-0.67556	SLV 9	-0.18956	-0.56867
178	SLV 8	-0.22015	-0.66046	SLV 9	-0.18786	-0.56357
179	SLV 8	-0.21956	-0.65867	SLV 9	-0.1889	-0.56669
180	SLV 8	-0.22323	-0.66968	SLV 9	-0.19274	-0.57823
181	SLV 8	-0.23031	-0.69093	SLV 9	-0.1988	-0.59641
182	SLV 7	-0.23855	-0.71564	SLV 10	-0.20543	-0.6163
183	SLV 11	-0.24276	-0.72828	SLV 6	-0.20917	-0.62751
184	SLV 11	-0.22338	-0.67013	SLV 6	-0.19295	-0.57885
185	SLV 11	-0.22047	-0.66142	SLV 6	-0.18908	-0.56724
186	SLV 11	-0.22117	-0.6635	SLV 6	-0.18701	-0.56103
187	SLV 11	-0.22573	-0.6772	SLV 6	-0.18668	-0.56004
188	SLV 4	-0.27705	-0.83115	SLV 13	-0.17817	-0.5345
189	SLV 11	-0.23471	-0.70412	SLV 6	-0.187	-0.56101
190	SLV 15	-0.27208	-0.81623	SLV 2	-0.18223	-0.54668
191	SLV 15	-0.27961	-0.83882	SLV 2	-0.17657	-0.52972
192	SLV 15	-0.26026	-0.78077	SLV 2	-0.18684	-0.56052
193	SLV 11	-0.25035	-0.75106	SLV 6	-0.18518	-0.55554
194	SLV 11	-0.2453	-0.7359	SLV 6	-0.18664	-0.55993
195	SLV 11	-0.24024	-0.72072	SLV 6	-0.18292	-0.54875
196	SLV 11	-0.25156	-0.75468	SLV 6	-0.1901	-0.57029
197	SLV 11	-0.23754	-0.71261	SLV 6	-0.17997	-0.53992

Relazione sulle fondazioni

Nodo Ind.	Pressione minima			Pressione massima		
	Cont.	uz	Valore	Cont.	uz	Valore
198	SLV 11	-0.25712	-0.77137	SLV 6	-0.19213	-0.57638
199	SLV 11	-0.23812	-0.71437	SLV 6	-0.17817	-0.5345
200	SLV 4	-0.27368	-0.82105	SLV 13	-0.18021	-0.54063
201	SLV 8	-0.26361	-0.79084	SLV 9	-0.1819	-0.54571
202	SLV 8	-0.25286	-0.75857	SLV 9	-0.18008	-0.54024
203	SLV 8	-0.2444	-0.73319	SLV 9	-0.17818	-0.53453
204	SLV 8	-0.23966	-0.71899	SLV 9	-0.17748	-0.53243
205	SLV 8	-0.23898	-0.71695	SLV 9	-0.17854	-0.53563
206	SLV 8	-0.2422	-0.72661	SLV 9	-0.18143	-0.54428
207	SLV 8	-0.24864	-0.74593	SLV 9	-0.18568	-0.55705
208	SLV 8	-0.25633	-0.769	SLV 9	-0.19018	-0.57054
209	SLV 11	-0.26032	-0.78095	SLV 6	-0.19277	-0.57831
210	SLV 11	-0.24208	-0.72625	SLV 6	-0.17746	-0.53237
211	SLV 11	-0.2486	-0.74581	SLV 6	-0.17737	-0.5321
212	SLV 4	-0.27799	-0.83398	SLV 13	-0.1767	-0.53011
213	SLV 11	-0.25591	-0.76772	SLV 6	-0.17696	-0.53088
214	SLV 8	-0.28471	-0.85412	SLV 9	-0.17066	-0.51197
215	SLV 11	-0.27216	-0.81649	SLV 6	-0.17132	-0.51397
216	SLV 11	-0.26258	-0.78774	SLV 6	-0.17593	-0.52779
217	SLV 11	-0.26765	-0.80295	SLV 6	-0.17773	-0.53318
218	SLV 11	-0.2795	-0.8385	SLV 6	-0.17057	-0.5117
219	SLV 11	-0.25956	-0.77869	SLV 6	-0.17318	-0.51955
220	SLV 11	-0.25739	-0.77216	SLV 6	-0.1711	-0.51331
221	SLV 11	-0.28672	-0.86016	SLV 6	-0.16848	-0.50543
222	SLV 11	-0.28975	-0.86924	SLV 6	-0.16649	-0.49948
223	SLV 11	-0.25781	-0.77342	SLV 6	-0.16961	-0.50882
224	SLV 11	-0.26119	-0.78358	SLV 6	-0.16856	-0.50567
225	SLV 11	-0.27048	-0.81144	SLV 6	-0.16867	-0.50601
226	SLV 11	-0.26544	-0.79632	SLV 6	-0.1684	-0.5052
227	SLV 11	-0.2744	-0.8232	SLV 6	-0.17691	-0.53072
228	SLV 8	-0.29064	-0.87192	SLV 9	-0.16408	-0.49225
229	SLV 8	-0.28317	-0.84951	SLV 9	-0.16614	-0.49841
230	SLV 8	-0.27449	-0.82346	SLV 9	-0.16651	-0.49954
231	SLV 8	-0.26773	-0.80319	SLV 9	-0.16648	-0.49945
232	SLV 8	-0.26384	-0.79152	SLV 9	-0.16685	-0.50056
233	SLV 8	-0.26299	-0.78898	SLV 9	-0.16799	-0.50398
234	SLV 8	-0.26508	-0.79523	SLV 9	-0.16994	-0.50982
235	SLV 8	-0.26966	-0.80899	SLV 9	-0.17242	-0.51726
236	SLV 8	-0.27538	-0.82614	SLV 9	-0.17481	-0.52444
237	SLV 11	-0.27833	-0.835	SLV 6	-0.1763	-0.52889
238	SLV 8	-0.29653	-0.8896	SLV 9	-0.15866	-0.47599
239	SLV 11	-0.28642	-0.85925	SLV 6	-0.16126	-0.48377
240	SLV 11	-0.2805	-0.84151	SLV 6	-0.16811	-0.50432
241	SLV 11	-0.28034	-0.84103	SLV 6	-0.16556	-0.49667
242	SLV 11	-0.28657	-0.85972	SLV 6	-0.15912	-0.47736
243	SLV 11	-0.27886	-0.83659	SLV 6	-0.16355	-0.49064
244	SLV 11	-0.27876	-0.83628	SLV 6	-0.16158	-0.48475
245	SLV 11	-0.28098	-0.84295	SLV 6	-0.15944	-0.47831
246	SLV 11	-0.27943	-0.8383	SLV 6	-0.16022	-0.48066
247	SLV 11	-0.28507	-0.85521	SLV 6	-0.15827	-0.47481
248	SLV 8	-0.30641	-0.91923	SLV 9	-0.14902	-0.44706
249	SLV 11	-0.30033	-0.90099	SLV 6	-0.15279	-0.45838
250	SLV 11	-0.30697	-0.92091	SLV 6	-0.14914	-0.44743
251	SLV 11	-0.30904	-0.92711	SLV 6	-0.14723	-0.44169
252	SLV 11	-0.29343	-0.88029	SLV 6	-0.16042	-0.48125
253	SLV 8	-0.30888	-0.92665	SLV 9	-0.14662	-0.43985
254	SLV 8	-0.30403	-0.9121	SLV 9	-0.14941	-0.44824
255	SLV 8	-0.29862	-0.89585	SLV 9	-0.15131	-0.45394
256	SLV 8	-0.29434	-0.88303	SLV 9	-0.15269	-0.45808
257	SLV 8	-0.29164	-0.87491	SLV 9	-0.15392	-0.46177
258	SLV 8	-0.29057	-0.87171	SLV 9	-0.15518	-0.46554
259	SLV 8	-0.29108	-0.87325	SLV 9	-0.15649	-0.46947
260	SLV 8	-0.29298	-0.87894	SLV 9	-0.15773	-0.47319
261	SLV 8	-0.2956	-0.88679	SLV 9	-0.15867	-0.47601
262	SLV 11	-0.29679	-0.89037	SLV 6	-0.15941	-0.47822
263	SLV 8	-0.31147	-0.9344	SLV 9	-0.14406	-0.43218
264	SLV 11	-0.30296	-0.90889	SLV 6	-0.14882	-0.44645
265	SLV 11	-0.29694	-0.89082	SLV 6	-0.15527	-0.46581
266	SLV 11	-0.29787	-0.8936	SLV 6	-0.15295	-0.45885
267	SLV 11	-0.3027	-0.90811	SLV 6	-0.14811	-0.44432
268	SLV 11	-0.30094	-0.90282	SLV 6	-0.14895	-0.44684
269	SLV 11	-0.29898	-0.89693	SLV 6	-0.15109	-0.45327
270	SLV 11	-0.29963	-0.89889	SLV 6	-0.14998	-0.44993
271	SLV 8	-0.32841	-0.98522	SLV 9	-0.12687	-0.38062
272	SLV 8	-0.3273	-0.98189	SLV 9	-0.12854	-0.38561
273	SLV 8	-0.32517	-0.97551	SLV 9	-0.1309	-0.39271
274	SLV 8	-0.32298	-0.96894	SLV 9	-0.13281	-0.39842
275	SLV 8	-0.32107	-0.96322	SLV 9	-0.13443	-0.4033
276	SLV 8	-0.31949	-0.95846	SLV 9	-0.13592	-0.40775
277	SLV 8	-0.31821	-0.95464	SLV 9	-0.1373	-0.4119
278	SLV 8	-0.31724	-0.95172	SLV 9	-0.13859	-0.41576
279	SLV 8	-0.31658	-0.94975	SLV 9	-0.13974	-0.41922
280	SLV 8	-0.31619	-0.94857	SLV 9	-0.14067	-0.42201
281	SLV 11	-0.31555	-0.94664	SLV 6	-0.14154	-0.42462
282	SLV 11	-0.31617	-0.94852	SLV 6	-0.14079	-0.42238
283	SLV 11	-0.31652	-0.94956	SLV 6	-0.14003	-0.4201
284	SLV 11	-0.31707	-0.95121	SLV 6	-0.13908	-0.41723
285	SLV 11	-0.31782	-0.95347	SLV 6	-0.13802	-0.41405
286	SLV 11	-0.31891	-0.95673	SLV 6	-0.13686	-0.41059
287	SLV 11	-0.32016	-0.96049	SLV 6	-0.13564	-0.40691
288	SLV 11	-0.32168	-0.96505	SLV 6	-0.13432	-0.40295
289	SLV 11	-0.32349	-0.97046	SLV 6	-0.13288	-0.39863
290	SLV 11	-0.3255	-0.97649	SLV 6	-0.13118	-0.39354
291	SLV 11	-0.32742	-0.98227	SLV 6	-0.12909	-0.38727
292	SLV 11	-0.32859	-0.98578	SLV 6	-0.12749	-0.38248
293	SLV 11	-0.32286	-0.96859	SLV 6	-0.13356	-0.40069
294	SLV 11	-0.32765	-0.98294	SLV 6	-0.12936	-0.38807
295	SLV 11	-0.32564	-0.97692	SLV 6	-0.13135	-0.39405
296	SLV 11	-0.32626	-0.97879	SLV 6	-0.13082	-0.39246

Nodo Ind.	Pressione minima			Pressione massima		
	Cont.	uz	Valore	Cont.	uz	Valore
297	SLV 11	-0.33024	-0.99071	SLV 6	-0.12679	-0.38038
298	SLV 11	-0.3251	-0.97529	SLV 6	-0.13185	-0.39555
299	SLV 11	-0.3317	-0.9951	SLV 6	-0.12529	-0.37587
300	SLV 11	-0.33281	-0.99843	SLV 6	-0.12408	-0.37223
301	SLV 11	-0.32422	-0.97267	SLV 6	-0.13277	-0.39831
302	SLV 11	-0.32418	-0.97255	SLV 6	-0.13292	-0.39877
303	SLV 8	-0.3413	-1.02391	SLV 9	-0.11376	-0.34127
304	SLV 8	-0.34054	-1.02161	SLV 9	-0.1152	-0.34559
305	SLV 8	-0.33966	-1.01898	SLV 9	-0.11688	-0.35063
306	SLV 8	-0.33904	-1.01712	SLV 9	-0.11805	-0.35416
307	SLV 8	-0.3384	-1.01521	SLV 9	-0.11919	-0.35758
308	SLV 8	-0.33746	-1.01239	SLV 9	-0.1205	-0.3615
309	SLV 8	-0.33607	-1.00822	SLV 9	-0.12195	-0.36586
310	SLV 8	-0.33428	-1.00283	SLV 9	-0.12354	-0.37061
311	SLV 8	-0.33231	-0.99693	SLV 9	-0.12521	-0.37563
312	SLV 8	-0.33057	-0.99172	SLV 9	-0.12678	-0.38033
313	SLV 7	-0.3292	-0.98761	SLV 10	-0.1281	-0.38431
314	SLV 11	-0.33076	-0.99229	SLV 6	-0.12662	-0.37985
315	SLV 11	-0.3327	-0.99811	SLV 6	-0.12494	-0.37482
316	SLV 11	-0.33496	-1.00487	SLV 6	-0.12318	-0.36954
317	SLV 11	-0.33687	-1.01062	SLV 6	-0.12155	-0.36464
318	SLV 11	-0.33831	-1.01492	SLV 6	-0.12003	-0.36009
319	SLV 11	-0.3391	-1.0173	SLV 6	-0.11872	-0.35617
320	SLV 11	-0.33973	-1.01918	SLV 6	-0.11749	-0.35248
321	SLV 11	-0.34066	-1.02198	SLV 6	-0.11575	-0.34725
322	SLV 11	-0.34147	-1.0244	SLV 6	-0.11437	-0.34312

5.4 Pressioni terreno in SLE/SLD



Rappresentazione in pianta delle massime compressioni sul terreno in famiglie SLE/SLD.

Nodo: Nodo che interagisce col terreno.

Ind.: indice del nodo.

Pressione minima: situazione in cui si verifica la pressione minima nel nodo.

Cont.: nome breve della condizione o combinazione di carico a cui si riferisce la pressione minima.

uz: spostamento massimo verticale del nodo. [cm]

Valore: pressione minima sul terreno del nodo. [daN/cm²]

Pressione massima: situazione in cui si verifica la pressione massima nel nodo.

Cont.: nome breve della condizione o combinazione di carico a cui si riferisce la pressione massima.

uz: spostamento minimo verticale del nodo. [cm]

Valore: pressione massima sul terreno del nodo. [daN/cm²]

Compressione estrema massima -0.84862 al nodo di indice 322, di coordinate x = 1320, y = 690, z = -400, nel contesto SLD 11.

Spostamento estremo minimo -0.28287 al nodo di indice 322, di coordinate x = 1320, y = 690, z = -400, nel contesto SLD 11.

Spostamento estremo massimo -0.1699 al nodo di indice 2, di coordinate x = -30, y = -30, z = -400, nel contesto SLD 12.

Nodo Ind.	Cont.	Pressione minima		Valore	Cont.	Pressione massima		Valore
		uz				uz		
2	SLD 5	-0.27985		-0.83956	SLD 12	-0.1699		-0.5097
3	SLD 5	-0.27962		-0.83887	SLD 12	-0.17074		-0.51221
4	SLD 5	-0.27938		-0.83813	SLD 12	-0.17174		-0.51522
5	SLD 5	-0.2792		-0.8376	SLD 12	-0.17245		-0.51736
6	SLD 5	-0.27901		-0.83702	SLD 12	-0.17313		-0.5194
7	SLD 5	-0.27864		-0.83592	SLD 12	-0.17384		-0.52153
8	SLD 5	-0.278		-0.83399	SLD 12	-0.17454		-0.52362
9	SLD 5	-0.2771		-0.83129	SLD 12	-0.17521		-0.52564
10	SLD 5	-0.27611		-0.82833	SLD 12	-0.1759		-0.52769
11	SLD 5	-0.27527		-0.8258	SLD 12	-0.17655		-0.52966
12	SLD 9	-0.27466		-0.82397	SLD 8	-0.17713		-0.53139
13	SLD 10	-0.27546		-0.82639	SLD 7	-0.17645		-0.52935
14	SLD 10	-0.27648		-0.82944	SLD 7	-0.17569		-0.52708
15	SLD 10	-0.27756		-0.83269	SLD 7	-0.17492		-0.52475
16	SLD 10	-0.27848		-0.83545	SLD 7	-0.17416		-0.52249
17	SLD 10	-0.27911		-0.83734	SLD 7	-0.17341		-0.52022
18	SLD 10	-0.27951		-0.83854	SLD 7	-0.1727		-0.51809
19	SLD 10	-0.27981		-0.83943	SLD 7	-0.17198		-0.51594
20	SLD 10	-0.28013		-0.8404	SLD 7	-0.17092		-0.51277
21	SLD 10	-0.28039		-0.84117	SLD 7	-0.17011		-0.51033
22	SLD 5	-0.27397		-0.8219	SLD 12	-0.17663		-0.52989
23	SLD 5	-0.27357		-0.8207	SLD 12	-0.17754		-0.53262
24	SLD 5	-0.27263		-0.81788	SLD 12	-0.17872		-0.53616
25	SLD 5	-0.27152		-0.81457	SLD 12	-0.17955		-0.53866
26	SLD 5	-0.27054		-0.81162	SLD 12	-0.18025		-0.54074
27	SLD 5	-0.26976		-0.80928	SLD 12	-0.18092		-0.54275
28	SLD 5	-0.26918		-0.80754	SLD 12	-0.18159		-0.54477
29	SLD 5	-0.2688		-0.80639	SLD 12	-0.18226		-0.54679
30	SLD 5	-0.26861		-0.80583	SLD 12	-0.18291		-0.54874
31	SLD 5	-0.26857		-0.80571	SLD 12	-0.18347		-0.5504
32	SLD 9	-0.26835		-0.80506	SLD 8	-0.1839		-0.55171
33	SLD 10	-0.26864		-0.80591	SLD 7	-0.18346		-0.55038
34	SLD 10	-0.26872		-0.80616	SLD 7	-0.18293		-0.54878
35	SLD 10	-0.26895		-0.80684	SLD 7	-0.18229		-0.54687
36	SLD 10	-0.2694		-0.8082	SLD 7	-0.18165		-0.54495
37	SLD 10	-0.27004		-0.81012	SLD 7	-0.181		-0.54301
38	SLD 10	-0.27086		-0.81259	SLD 7	-0.18036		-0.54107
39	SLD 10	-0.27191		-0.81573	SLD 7	-0.1797		-0.5391
40	SLD 10	-0.27309		-0.81926	SLD 7	-0.1789		-0.53669
41	SLD 10	-0.27409		-0.82226	SLD 7	-0.17774		-0.53323
42	SLD 10	-0.27453		-0.8236	SLD 7	-0.17685		-0.53056
43	SLD 10	-0.25784		-0.77352	SLD 7	-0.18726		-0.56178
44	SLD 10	-0.25822		-0.77467	SLD 7	-0.1867		-0.56011
45	SLD 10	-0.25792		-0.77375	SLD 7	-0.18818		-0.56455
46	SLD 10	-0.25897		-0.77691	SLD 7	-0.18659		-0.55976
47	SLD 10	-0.25795		-0.77384	SLD 7	-0.1897		-0.56909
48	SLD 10	-0.25987		-0.77962	SLD 7	-0.1871		-0.56131
49	SLD 5	-0.26506		-0.79518	SLD 12	-0.18668		-0.56005
50	SLD 5	-0.26225		-0.78675	SLD 12	-0.18747		-0.5624
51	SLD 5	-0.2588		-0.77641	SLD 12	-0.18745		-0.56236
52	SLD 5	-0.25604		-0.76812	SLD 12	-0.18735		-0.56204
53	SLD 5	-0.25438		-0.76314	SLD 12	-0.18754		-0.56261
54	SLD 5	-0.25392		-0.76175	SLD 12	-0.18817		-0.56451
55	SLD 5	-0.25462		-0.76386	SLD 12	-0.18925		-0.56774
56	SLD 5	-0.25631		-0.76894	SLD 12	-0.19063		-0.57188
57	SLD 5	-0.25846		-0.77538	SLD 12	-0.19197		-0.57592
58	SLD 9	-0.25955		-0.77864	SLD 8	-0.1928		-0.5784
59	SLD 10	-0.25725		-0.77175	SLD 7	-0.19262		-0.57787
60	SLD 5	-0.26458		-0.79374	SLD 12	-0.18708		-0.56124
61	SLD 10	-0.26462		-0.79385	SLD 7	-0.18788		-0.56365
62	SLD 10	-0.26561		-0.79684	SLD 7	-0.18699		-0.56096
63	SLD 10	-0.26008		-0.78024	SLD 7	-0.18926		-0.56777
64	SLD 5	-0.26383		-0.7915	SLD 12	-0.18797		-0.56391
65	SLD 10	-0.24501		-0.73504	SLD 7	-0.19011		-0.57032
66	SLD 10	-0.2462		-0.7386	SLD 7	-0.19145		-0.57436
67	SLD 10	-0.24513		-0.7354	SLD 7	-0.18956		-0.56867
68	SLD 10	-0.24796		-0.74387	SLD 7	-0.19337		-0.58011
69	SLD 10	-0.24659		-0.73978	SLD 7	-0.1899		-0.56969
70	SLD 10	-0.2492		-0.74761	SLD 7	-0.19533		-0.58598
71	SLD 10	-0.24869		-0.74608	SLD 7	-0.19108		-0.57324
72	SLD 10	-0.25042		-0.75126	SLD 7	-0.19264		-0.57792
73	SLD 5	-0.25815		-0.77445	SLD 12	-0.1939		-0.5817
74	SLD 5	-0.25649		-0.76946	SLD 12	-0.19542		-0.58625
75	SLD 5	-0.25159		-0.75476	SLD 12	-0.19498		-0.58493
76	SLD 5	-0.24534		-0.73602	SLD 12	-0.19299		-0.57898
77	SLD 5	-0.24039		-0.72117	SLD 12	-0.19121		-0.57362
78	SLD 5	-0.23764		-0.71291	SLD 12	-0.19046		-0.57137
79	SLD 5	-0.2373		-0.71191	SLD 12	-0.19106		-0.57318
80	SLD 5	-0.23933		-0.71798	SLD 12	-0.19301		-0.57904
81	SLD 5	-0.24332		-0.72996	SLD 12	-0.19601		-0.58802
82	SLD 5	-0.24812		-0.74436	SLD 12	-0.19922		-0.59766
83	SLD 9	-0.25069		-0.75208	SLD 8	-0.20106		-0.60318
84	SLD 10	-0.24769		-0.74306	SLD 7	-0.20053		-0.60159
85	SLD 10	-0.25509		-0.76526	SLD 7	-0.19754		-0.59263
86	SLD 10	-0.25676		-0.77028	SLD 7	-0.19684		-0.59053
87	SLD 10	-0.24236		-0.72707	SLD 7	-0.19945		-0.59834
88	SLD 10	-0.24964		-0.74893	SLD 7	-0.19775		-0.59324
89	SLD 10	-0.2375		-0.71251	SLD 7	-0.19683		-0.5905
90	SLD 10	-0.23385		-0.70154	SLD 7	-0.19405		-0.58215
91	SLD 10	-0.23137		-0.6941	SLD 7	-0.19203		-0.5761
92	SLD 10	-0.2312		-0.6936	SLD 7	-0.19144		-0.57432
93	SLD 10	-0.23329		-0.69987	SLD 7	-0.19243		-0.57729
94	SLD 10	-0.24271		-0.72812	SLD 7	-0.19694		-0.59082
95	SLD 5	-0.25377		-0.76131	SLD 12	-0.19902		-0.59706

Relazione sulle fondazioni

Nodo Ind.	Pressione minima			Pressione massima		
	Cont.	uz	Valore	Cont.	uz	Valore
96	SLD 10	-0.23706	-0.71117	SLD 7	-0.19459	-0.58377
97	SLD 1	-0.25028	-0.75083	SLD 16	-0.20227	-0.6068
98	SLD 1	-0.24834	-0.74501	SLD 16	-0.20369	-0.61106
99	SLD 5	-0.24161	-0.72482	SLD 12	-0.20211	-0.60634
100	SLD 5	-0.23325	-0.69976	SLD 12	-0.19796	-0.59389
101	SLD 5	-0.22655	-0.67966	SLD 12	-0.19435	-0.58305
102	SLD 5	-0.22289	-0.66867	SLD 12	-0.19259	-0.57777
103	SLD 5	-0.22266	-0.66799	SLD 12	-0.19319	-0.57956
104	SLD 5	-0.22577	-0.67732	SLD 12	-0.19613	-0.58839
105	SLD 5	-0.23161	-0.69483	SLD 12	-0.20092	-0.60276
106	SLD 5	-0.23842	-0.71527	SLD 12	-0.2062	-0.6186
107	SLD 9	-0.24204	-0.72613	SLD 8	-0.20913	-0.62739
108	SLD 9	-0.23923	-0.7177	SLD 8	-0.20788	-0.62364
109	SLD 10	-0.23423	-0.70269	SLD 7	-0.20496	-0.61489
110	SLD 10	-0.2279	-0.68371	SLD 7	-0.20085	-0.60255
111	SLD 10	-0.22251	-0.66754	SLD 7	-0.19685	-0.59055
112	SLD 10	-0.21929	-0.65788	SLD 7	-0.19414	-0.58241
113	SLD 10	-0.21873	-0.65618	SLD 7	-0.19348	-0.58044
114	SLD 14	-0.2479	-0.74371	SLD 3	-0.20484	-0.61453
115	SLD 14	-0.25188	-0.75563	SLD 3	-0.20271	-0.60812
116	SLD 10	-0.22116	-0.66349	SLD 7	-0.19508	-0.58524
117	SLD 14	-0.24079	-0.72236	SLD 3	-0.20528	-0.61584
118	SLD 10	-0.22644	-0.67933	SLD 7	-0.19849	-0.59546
119	SLD 10	-0.23356	-0.70068	SLD 7	-0.20263	-0.60788
120	SLD 1	-0.25037	-0.75111	SLD 16	-0.20348	-0.61043
121	SLD 1	-0.24785	-0.74354	SLD 16	-0.20535	-0.61605
122	SLD 1	-0.24584	-0.73753	SLD 16	-0.20638	-0.61915
123	SLD 1	-0.23605	-0.70814	SLD 16	-0.20594	-0.61782
124	SLE RA 4	-0.22497	-0.6749	SLD 16	-0.20203	-0.60608
125	SLE RA 4	-0.21704	-0.65111	SLD 12	-0.19831	-0.59492
126	SLE RA 4	-0.21306	-0.63917	SLD 12	-0.19573	-0.58719
127	SLE RA 4	-0.21365	-0.64096	SLD 12	-0.19633	-0.58899
128	SLE RA 4	-0.2187	-0.65611	SLD 12	-0.20011	-0.60034
129	SLE RA 4	-0.22724	-0.68172	SLD 12	-0.20641	-0.61923
130	SLE RA 4	-0.23676	-0.71027	SLD 12	-0.21342	-0.64027
131	SLE RA 4	-0.24181	-0.72544	SLD 8	-0.21727	-0.6518
132	SLD 1	-0.2476	-0.74281	SLD 16	-0.20554	-0.61662
133	SLE RA 4	-0.23905	-0.71715	SLD 8	-0.21541	-0.64623
134	SLE RA 4	-0.23323	-0.6997	SLD 7	-0.21135	-0.63405
135	SLE RA 4	-0.22537	-0.67612	SLD 7	-0.20589	-0.61766
136	SLE RA 4	-0.2181	-0.6543	SLD 7	-0.20078	-0.60233
137	SLE RA 4	-0.21345	-0.64036	SLD 7	-0.19749	-0.59247
138	SLE RA 4	-0.21222	-0.63667	SLD 7	-0.19674	-0.59022
139	SLE RA 4	-0.21494	-0.64481	SLD 3	-0.19802	-0.59406
140	SLE RA 4	-0.22121	-0.66364	SLD 3	-0.20102	-0.60306
141	SLE RA 4	-0.22911	-0.68733	SLD 3	-0.20476	-0.61427
142	SLD 14	-0.24521	-0.73564	SLD 3	-0.20786	-0.62357
143	SLD 14	-0.2496	-0.7488	SLD 3	-0.20583	-0.61749
144	SLD 14	-0.23758	-0.71274	SLD 3	-0.20774	-0.62321
146	SLD 4	-0.24771	-0.74313	SLD 13	-0.20698	-0.62094
147	SLD 4	-0.2445	-0.7335	SLD 13	-0.20867	-0.62601
148	SLD 4	-0.24355	-0.73064	SLD 13	-0.2091	-0.62731
149	SLE RA 4	-0.23476	-0.70429	SLD 13	-0.20825	-0.62475
150	SLE RA 4	-0.2242	-0.67259	SLD 13	-0.20374	-0.61121
151	SLE RA 4	-0.21576	-0.64727	SLD 14	-0.19963	-0.59889
152	SLE RA 4	-0.21151	-0.63454	SLD 14	-0.19793	-0.59378
153	SLE RA 4	-0.21215	-0.63644	SLD 16	-0.19947	-0.59841
154	SLE RA 4	-0.21753	-0.65258	SLD 16	-0.20439	-0.61318
155	SLE RA 4	-0.22661	-0.67984	SLD 16	-0.21209	-0.63628
156	SLE RA 4	-0.23672	-0.71016	SLD 16	-0.22064	-0.66192
157	SLE RA 4	-0.24206	-0.72619	SLD 8	-0.22557	-0.67672
158	SLE RA 4	-0.23925	-0.71776	SLD 2	-0.22282	-0.66845
159	SLE RA 4	-0.23302	-0.69907	SLD 2	-0.21742	-0.65226
160	SLE RA 4	-0.22497	-0.67492	SLD 2	-0.2106	-0.6318
161	SLE RA 4	-0.21757	-0.65272	SLD 2	-0.20426	-0.61277
162	SLE RA 4	-0.21272	-0.63816	SLD 2	-0.19978	-0.59933
163	SLE RA 4	-0.21144	-0.63433	SLD 2	-0.1978	-0.59341
164	SLE RA 4	-0.21415	-0.64245	SLD 2	-0.19847	-0.59541
165	SLE RA 4	-0.22054	-0.66161	SLD 2	-0.20131	-0.60392
166	SLE RA 4	-0.22879	-0.68636	SLD 2	-0.20486	-0.61458
167	SLD 15	-0.23747	-0.71242	SLD 2	-0.20798	-0.62393
168	SLD 15	-0.24543	-0.73629	SLD 2	-0.20816	-0.62449
169	SLD 15	-0.24982	-0.74946	SLD 2	-0.20615	-0.61844
170	SLD 4	-0.24733	-0.74199	SLD 13	-0.20662	-0.61986
171	SLE RA 4	-0.23419	-0.70257	SLD 6	-0.21172	-0.63515
172	SLE RA 4	-0.22653	-0.6796	SLD 6	-0.20603	-0.61809
173	SLE RA 4	-0.23991	-0.71973	SLD 6	-0.21589	-0.64767
174	SLD 4	-0.24637	-0.73911	SLD 13	-0.20682	-0.62045
175	SLD 4	-0.23652	-0.70957	SLD 13	-0.20635	-0.61905
176	SLE RA 4	-0.22562	-0.67687	SLD 13	-0.20242	-0.60725
177	SLE RA 4	-0.21767	-0.65302	SLD 9	-0.19868	-0.59604
178	SLE RA 4	-0.21369	-0.64106	SLD 9	-0.19611	-0.58834
179	SLE RA 4	-0.21429	-0.64287	SLD 9	-0.19673	-0.5902
180	SLE RA 4	-0.21936	-0.65808	SLD 9	-0.20055	-0.60164
181	SLE RA 4	-0.22793	-0.6838	SLD 9	-0.20688	-0.62065
182	SLE RA 4	-0.23749	-0.71248	SLD 10	-0.21395	-0.64184
183	SLE RA 4	-0.24256	-0.72769	SLD 6	-0.21781	-0.65344
184	SLE RA 4	-0.21959	-0.65877	SLD 6	-0.20074	-0.60222
185	SLE RA 4	-0.21503	-0.64508	SLD 6	-0.19711	-0.59132
186	SLE RA 4	-0.21387	-0.64161	SLD 6	-0.19574	-0.58723
187	SLE RA 4	-0.21629	-0.64888	SLD 6	-0.19667	-0.59002
188	SLD 4	-0.25115	-0.75345	SLD 13	-0.20407	-0.6122
189	SLD 11	-0.22248	-0.66743	SLD 6	-0.19923	-0.5977
190	SLD 15	-0.24866	-0.74597	SLD 2	-0.20565	-0.61694
191	SLD 15	-0.25264	-0.75793	SLD 2	-0.20354	-0.61061
192	SLD 15	-0.24122	-0.72366	SLD 2	-0.20588	-0.61763
193	SLD 11	-0.2336	-0.7008	SLD 6	-0.20193	-0.6058
194	SLD 11	-0.23025	-0.69075	SLD 6	-0.20169	-0.60508
195	SLD 11	-0.22555	-0.67666	SLD 6	-0.1976	-0.59281

Relazione sulle fondazioni

Nodo Ind.	Pressione minima			Pressione massima		
	Cont.	uz	Valore	Cont.	uz	Valore
196	SLE RA 4	-0.23595	-0.70784	SLD 6	-0.20589	-0.61766
197	SLD 11	-0.2228	-0.66841	SLD 6	-0.19471	-0.58412
198	SLE RA 4	-0.24085	-0.72256	SLD 6	-0.20884	-0.62653
199	SLD 11	-0.22278	-0.66834	SLD 6	-0.19351	-0.58053
200	SLD 4	-0.24933	-0.748	SLD 13	-0.20456	-0.61368
201	SLD 8	-0.24257	-0.72771	SLD 9	-0.20295	-0.60884
202	SLD 8	-0.23417	-0.7025	SLD 9	-0.19877	-0.59631
203	SLD 8	-0.22743	-0.68228	SLD 9	-0.19515	-0.58544
204	SLD 8	-0.22375	-0.67124	SLD 9	-0.19339	-0.58018
205	SLD 8	-0.22351	-0.67054	SLD 9	-0.19401	-0.58203
206	SLD 8	-0.22663	-0.6799	SLD 9	-0.197	-0.59099
207	SLD 8	-0.23249	-0.69746	SLD 9	-0.20184	-0.60552
208	SLD 8	-0.23933	-0.71798	SLD 9	-0.20718	-0.62155
209	SLE RA 4	-0.24331	-0.72994	SLD 6	-0.21015	-0.63044
210	SLD 11	-0.22553	-0.67659	SLD 6	-0.19401	-0.58203
211	SLD 11	-0.23034	-0.69101	SLD 6	-0.19563	-0.5869
212	SLD 4	-0.25156	-0.75469	SLD 13	-0.20313	-0.6094
213	SLD 11	-0.23563	-0.7069	SLD 6	-0.19723	-0.5917
214	SLD 8	-0.25523	-0.76568	SLD 9	-0.20014	-0.60041
215	SLD 11	-0.24622	-0.73867	SLD 6	-0.19726	-0.59179
216	SLD 11	-0.24034	-0.72101	SLD 6	-0.19817	-0.59452
217	SLD 11	-0.24454	-0.73363	SLD 6	-0.20084	-0.60251
218	SLD 11	-0.25144	-0.75431	SLD 6	-0.19863	-0.59589
219	SLD 11	-0.23741	-0.71223	SLD 6	-0.19534	-0.58601
220	SLD 11	-0.23527	-0.70582	SLD 6	-0.19322	-0.57965
221	SLD 11	-0.2562	-0.76861	SLD 6	-0.19899	-0.59698
222	SLD 11	-0.2579	-0.77369	SLD 6	-0.19834	-0.59503
223	SLD 11	-0.2352	-0.70561	SLD 6	-0.19221	-0.57663
224	SLD 11	-0.23744	-0.71232	SLD 6	-0.19231	-0.57693
225	SLD 11	-0.24432	-0.73296	SLD 6	-0.19483	-0.5845
226	SLD 11	-0.24053	-0.7216	SLD 6	-0.19331	-0.57992
227	SLD 11	-0.24932	-0.74797	SLD 6	-0.20198	-0.60594
228	SLD 8	-0.25799	-0.77396	SLD 9	-0.19674	-0.59022
229	SLD 8	-0.25303	-0.75909	SLD 9	-0.19628	-0.58883
230	SLD 8	-0.24674	-0.74021	SLD 9	-0.19426	-0.58279
231	SLD 8	-0.24175	-0.72525	SLD 9	-0.19246	-0.57739
232	SLD 8	-0.23898	-0.71693	SLD 9	-0.19172	-0.57516
233	SLD 8	-0.23864	-0.71592	SLD 9	-0.19235	-0.57704
234	SLD 8	-0.24067	-0.72202	SLD 9	-0.19434	-0.58303
235	SLD 8	-0.24469	-0.73408	SLD 9	-0.19739	-0.59218
236	SLD 8	-0.24952	-0.74856	SLD 9	-0.20067	-0.60202
237	SLD 11	-0.25208	-0.75624	SLD 6	-0.20255	-0.60765
238	SLD 8	-0.26095	-0.78284	SLD 9	-0.19425	-0.58275
239	SLD 11	-0.25421	-0.76263	SLD 6	-0.19346	-0.58039
240	SLD 11	-0.25161	-0.75483	SLD 6	-0.197	-0.591
241	SLD 11	-0.25085	-0.75255	SLD 6	-0.19505	-0.58515
242	SLD 11	-0.2538	-0.76139	SLD 6	-0.1919	-0.57569
243	SLD 11	-0.24925	-0.74776	SLD 6	-0.19316	-0.57947
244	SLD 11	-0.24868	-0.74605	SLD 6	-0.19166	-0.57498
245	SLD 11	-0.24977	-0.74932	SLD 6	-0.19065	-0.57194
246	SLD 11	-0.24883	-0.7465	SLD 6	-0.19082	-0.57246
247	SLD 11	-0.25248	-0.75745	SLD 6	-0.19086	-0.57257
248	SLD 8	-0.26579	-0.79736	SLD 9	-0.18964	-0.56893
249	SLD 11	-0.26232	-0.78697	SLD 6	-0.1908	-0.5724
250	SLD 11	-0.26626	-0.79878	SLD 6	-0.18985	-0.56956
251	SLD 11	-0.26727	-0.80182	SLD 6	-0.18899	-0.56698
252	SLD 11	-0.25921	-0.77763	SLD 6	-0.19464	-0.58391
253	SLD 8	-0.26703	-0.8011	SLD 9	-0.18847	-0.5654
254	SLD 8	-0.2642	-0.7926	SLD 9	-0.18924	-0.56773
255	SLD 8	-0.26071	-0.78214	SLD 9	-0.18922	-0.56765
256	SLD 8	-0.25792	-0.77377	SLD 9	-0.18911	-0.56733
257	SLD 8	-0.25625	-0.76875	SLD 9	-0.18931	-0.56793
258	SLD 8	-0.25579	-0.76736	SLD 9	-0.18996	-0.56989
259	SLD 8	-0.2565	-0.76949	SLD 9	-0.19108	-0.57323
260	SLD 8	-0.2582	-0.77461	SLD 9	-0.1925	-0.57751
261	SLD 8	-0.26037	-0.78111	SLD 9	-0.1939	-0.5817
262	SLD 11	-0.26143	-0.7843	SLD 6	-0.19477	-0.5843
263	SLD 8	-0.26828	-0.80483	SLD 9	-0.18725	-0.56174
264	SLD 11	-0.26328	-0.78985	SLD 6	-0.1885	-0.5655
265	SLD 11	-0.2605	-0.78151	SLD 6	-0.19171	-0.57512
266	SLD 11	-0.2606	-0.78181	SLD 6	-0.19021	-0.57064
267	SLD 11	-0.26293	-0.78878	SLD 6	-0.18789	-0.56366
268	SLD 11	-0.26185	-0.78554	SLD 6	-0.18804	-0.56412
269	SLD 11	-0.26095	-0.78285	SLD 6	-0.18912	-0.56735
270	SLD 11	-0.26115	-0.78344	SLD 6	-0.18846	-0.56538
271	SLD 8	-0.27641	-0.82924	SLD 9	-0.17887	-0.5366
272	SLD 8	-0.27604	-0.82811	SLD 9	-0.1798	-0.53939
273	SLD 8	-0.27508	-0.82525	SLD 9	-0.18099	-0.54297
274	SLD 8	-0.27396	-0.82188	SLD 9	-0.18183	-0.54549
275	SLD 8	-0.27297	-0.81891	SLD 9	-0.18254	-0.54761
276	SLD 8	-0.27218	-0.81655	SLD 9	-0.18322	-0.54967
277	SLD 8	-0.2716	-0.8148	SLD 9	-0.18391	-0.55174
278	SLD 8	-0.27122	-0.81365	SLD 9	-0.18461	-0.55383
279	SLD 8	-0.27103	-0.81309	SLD 9	-0.18529	-0.55587
280	SLD 8	-0.27099	-0.81296	SLD 9	-0.18588	-0.55763
281	SLD 11	-0.27074	-0.81222	SLD 6	-0.18635	-0.55905
282	SLD 11	-0.27101	-0.81302	SLD 6	-0.18596	-0.55789
283	SLD 11	-0.27106	-0.81318	SLD 6	-0.18549	-0.55647
284	SLD 11	-0.27122	-0.81366	SLD 6	-0.18493	-0.55479
285	SLD 11	-0.2715	-0.81449	SLD 6	-0.18434	-0.55303
286	SLD 11	-0.272	-0.816	SLD 6	-0.18377	-0.55132
287	SLD 11	-0.27261	-0.81782	SLD 6	-0.18319	-0.54958
288	SLD 11	-0.27339	-0.82016	SLD 6	-0.18261	-0.54784
289	SLD 11	-0.27435	-0.82305	SLD 6	-0.18202	-0.54605
290	SLD 11	-0.27539	-0.82618	SLD 6	-0.18128	-0.54385
291	SLD 11	-0.27627	-0.8288	SLD 6	-0.18025	-0.54074
292	SLD 11	-0.27671	-0.83012	SLD 6	-0.17938	-0.53813
293	SLD 11	-0.27406	-0.82218	SLD 6	-0.18237	-0.5471
294	SLD 11	-0.2765	-0.8295	SLD 6	-0.1805	-0.54151

Nodo Ind.	Pressione minima			Pressione massima		
	Cont.	uz	Valore	Cont.	uz	Valore
295	SLD 11	-0.27554	-0.82661	SLD 6	-0.18145	-0.54436
296	SLD 11	-0.27586	-0.82757	SLD 6	-0.18123	-0.54368
297	SLD 11	-0.27775	-0.83326	SLD 6	-0.17928	-0.53783
298	SLD 11	-0.27527	-0.82581	SLD 6	-0.18167	-0.54502
299	SLD 11	-0.27846	-0.83537	SLD 6	-0.17853	-0.53559
300	SLD 11	-0.27897	-0.83692	SLD 6	-0.17792	-0.53375
301	SLD 11	-0.27488	-0.82464	SLD 6	-0.18212	-0.54635
302	SLD 11	-0.2749	-0.8247	SLD 6	-0.18221	-0.54662
303	SLD 8	-0.2826	-0.84779	SLD 9	-0.17246	-0.51739
304	SLD 8	-0.28241	-0.84722	SLD 9	-0.17333	-0.51998
305	SLD 8	-0.28218	-0.84655	SLD 9	-0.17436	-0.52307
306	SLD 8	-0.282	-0.84601	SLD 9	-0.17509	-0.52526
307	SLD 8	-0.28181	-0.84543	SLD 9	-0.17579	-0.52736
308	SLD 8	-0.28144	-0.84433	SLD 9	-0.17652	-0.52956
309	SLD 8	-0.2808	-0.84239	SLD 9	-0.17723	-0.5317
310	SLD 8	-0.27989	-0.83968	SLD 9	-0.17792	-0.53377
311	SLD 8	-0.27889	-0.83668	SLD 9	-0.17862	-0.53587
312	SLD 8	-0.27804	-0.83412	SLD 9	-0.17931	-0.53793
313	SLD 7	-0.27739	-0.83216	SLD 10	-0.17992	-0.53976
314	SLD 11	-0.27814	-0.83441	SLD 6	-0.17924	-0.53773
315	SLD 11	-0.27911	-0.83732	SLD 6	-0.17853	-0.5356
316	SLD 11	-0.28029	-0.84088	SLD 6	-0.17784	-0.53352
317	SLD 11	-0.28128	-0.84384	SLD 6	-0.17714	-0.53142
318	SLD 11	-0.28195	-0.84585	SLD 6	-0.17639	-0.52916
319	SLD 11	-0.28222	-0.84665	SLD 6	-0.17561	-0.52683
320	SLD 11	-0.28238	-0.84715	SLD 6	-0.17484	-0.52451
321	SLD 11	-0.28264	-0.84791	SLD 6	-0.17377	-0.52131
322	SLD 11	-0.28287	-0.84862	SLD 6	-0.17297	-0.5189

5.5 Cedimenti fondazioni superficiali

Nodo: nodo che interagisce col terreno.

Ind.: indice del nodo.

spostamento nodale massimo: situazione in cui si verifica lo spostamento massimo verticale nel nodo calcolato dal solutore ad elementi finiti. Lo spostamento massimo con segno è quello con valore massimo lungo l'asse Z, dove valori positivi rappresentano spostamenti verso l'alto.

Cont.: nome breve della condizione o combinazione di carico a cui si riferisce lo spostamento.

uz: spostamento verticale del nodo calcolato dal solutore ad elementi finiti. Lo spostamento è dotato di segno. [cm]

Press.: pressione sul terreno corrispondente allo spostamento. Valori positivi indicano trazione, valori negativi indicano compressione. [daN/cm²]

spostamento nodale minimo: situazione in cui si verifica lo spostamento minimo verticale del nodo calcolato dal solutore ad elementi finiti. Lo spostamento minimo con segno è quello con valore minimo lungo l'asse Z, dove valori negativi rappresentano spostamenti verso il basso.

Cont.: nome breve della condizione o combinazione di carico a cui si riferisce lo spostamento.

uz: spostamento verticale del nodo calcolato dal solutore ad elementi finiti. Lo spostamento è dotato di segno. [cm]

Press.: pressione sul terreno corrispondente allo spostamento. Valori positivi indicano trazione, valori negativi indicano compressione. [daN/cm²]

Cedimento elastico: cedimento teorico elastico massimo.

Cont.: nome breve della combinazione di carico in cui è stato calcolato il cedimento teorico elastico massimo.

v.: valore del cedimento teorico elastico massimo. [cm]

Cedimento edometrico: cedimento teorico edometrico massimo.

Cont.: nome breve della combinazione di carico in cui è stato calcolato il cedimento teorico edometrico massimo.

v.: valore del cedimento teorico edometrico massimo. [cm]

Cedimento di consolidazione: cedimento teorico di consolidazione massimo.

Cont.: nome breve della combinazione di carico in cui è stato calcolato il cedimento teorico di consolidazione massimo.

v.: valore del cedimento teorico di consolidazione massimo. [cm]

Spostamento estremo minimo -0.28287 al nodo di indice 322, di coordinate x = 1320, y = 690, z = -400, nel contesto SLD 11.

Spostamento estremo massimo -0.1699 al nodo di indice 2, di coordinate x = -30, y = -30, z = -400, nel contesto SLD 12.

Cedimento elastico estremo massimo 3.70083 al nodo di indice 157, di coordinate x = 645, y = 330, z = -400, nel contesto SLE rara 4.

Cedimento edometrico estremo massimo 3.70083 al nodo di indice 157, di coordinate x = 645, y = 330, z = -400, nel contesto SLE rara 4.

Nodo Ind.	spostamento nodale massimo			spostamento nodale minimo			Cedimento elastico		Cedimento edometrico		Cedimento di consolidazione	
	Cont.	uz	Press.	Cont.	uz	Press.	Cont.	v.	Cont.	v.	Cont.	v.
2	SLD 12	-0.1699	-0.5097	SLD 5	-0.27985	-0.83956	SLE RA 4	1.26164	SLE RA 4	1.26164		
3	SLD 12	-0.17074	-0.51221	SLD 5	-0.27962	-0.83887	SLE RA 4	1.56984	SLE RA 4	1.56984		
4	SLD 12	-0.17174	-0.51522	SLD 5	-0.27938	-0.83813	SLE RA 4	1.82339	SLE RA 4	1.82339		
5	SLD 12	-0.17245	-0.51736	SLD 5	-0.2792	-0.8376	SLE RA 4	1.97447	SLE RA 4	1.97447		
6	SLD 12	-0.17313	-0.5194	SLD 5	-0.27901	-0.83702	SLE RA 4	2.07595	SLE RA 4	2.07595		
7	SLD 12	-0.17384	-0.52153	SLD 5	-0.27864	-0.83592	SLE RA 4	2.14877	SLE RA 4	2.14877		
8	SLD 12	-0.17454	-0.52362	SLD 5	-0.278	-0.83399	SLE RA 4	2.20251	SLE RA 4	2.20251		
9	SLD 12	-0.17521	-0.52564	SLD 5	-0.2771	-0.83129	SLE RA 4	2.24227	SLE RA 4	2.24227		
10	SLD 12	-0.1759	-0.52769	SLD 5	-0.27611	-0.82833	SLE RA 4	2.27053	SLE RA 4	2.27053		
11	SLD 12	-0.17655	-0.52966	SLD 5	-0.27527	-0.8258	SLE RA 4	2.28868	SLE RA 4	2.28868		
12	SLD 8	-0.17713	-0.53139	SLD 9	-0.27466	-0.82397	SLE RA 4	2.29566	SLE RA 4	2.29566		
13	SLD 7	-0.17645	-0.52935	SLD 10	-0.27546	-0.82639	SLE RA 4	2.28888	SLE RA 4	2.28888		
14	SLD 7	-0.17569	-0.52708	SLD 10	-0.27648	-0.82944	SLE RA 4	2.25349	SLE RA 4	2.25349		
15	SLD 7	-0.17492	-0.52475	SLD 10	-0.27756	-0.83269	SLE RA 4	2.20679	SLE RA 4	2.20679		
16	SLD 7	-0.17416	-0.52249	SLD 10	-0.27848	-0.83545	SLE RA 4	2.20198	SLE RA 4	2.20198		
17	SLD 7	-0.17341	-0.52022	SLD 10	-0.27911	-0.83734	SLE RA 4	2.08371	SLE RA 4	2.08371		
18	SLD 7	-0.1727	-0.51809	SLD 10	-0.27951	-0.83854	SLE RA 4	1.99199	SLE RA 4	1.99199		
19	SLD 7	-0.17198	-0.51594	SLD 10	-0.27981	-0.83943	SLE RA 4	1.85242	SLE RA 4	1.85242		
20	SLD 7	-0.17092	-0.51277	SLD 10	-0.28013	-0.8404	SLE RA 4	1.56515	SLE RA 4	1.56515		
21	SLD 7	-0.17011	-0.51033	SLD 10	-0.28039	-0.84117	SLE RA 4	1.25908	SLE RA 4	1.25908		
22	SLD 12	-0.17663	-0.52989	SLD 5	-0.27397	-0.8219	SLE RA 4	1.56097	SLE RA 4	1.56097		
23	SLD 12	-0.17754	-0.53262	SLD 5	-0.27357	-0.8207	SLE RA 4	2.02998	SLE RA 4	2.02998		
24	SLD 12	-0.17872	-0.53616	SLD 5	-0.27263	-0.81788	SLE RA 4	2.34292	SLE RA 4	2.34292		
25	SLD 12	-0.17955	-0.53866	SLD 5	-0.27152	-0.81457	SLE RA 4	2.51985	SLE RA 4	2.51985		
26	SLD 12	-0.18025	-0.54074	SLD 5	-0.27054	-0.81162	SLE RA 4	2.63283	SLE RA 4	2.63283		
27	SLD 12	-0.18092	-0.54275	SLD 5	-0.26976	-0.80928	SLE RA 4	2.71255	SLE RA 4	2.71255		
28	SLD 12	-0.18159	-0.54477	SLD 5	-0.26918	-0.80754	SLE RA 4	2.772	SLE RA 4	2.772		
29	SLD 12	-0.18226	-0.54679	SLD 5	-0.2688	-0.80639	SLE RA 4	2.81741	SLE RA 4	2.81741		
30	SLD 12	-0.18291	-0.54874	SLD 5	-0.26861	-0.80583	SLE RA 4	2.85129	SLE RA 4	2.85129		
31	SLD 12	-0.18347	-0.5504	SLD 5	-0.26857	-0.80571	SLE RA 4	2.87489	SLE RA 4	2.87489		

Relazione sulle fondazioni

Nodo Ind.	spostamento nodale massimo			spostamento nodale minimo			Cedimento elastico		Cedimento edometrico		Cedimento di consolidazione	
	Cont.	uz	Press.	Cont.	uz	Press.	Cont.	v.	Cont.	v.	Cont.	v.
32	SLD 8	-0.1839	-0.55171	SLD 9	-0.26835	-0.80506	SLE RA 4	2.89402	SLE RA 4	2.89402		
33	SLD 7	-0.18346	-0.55038	SLD 10	-0.26864	-0.80591	SLE RA 4	2.88013	SLE RA 4	2.88013		
34	SLD 7	-0.18293	-0.54878	SLD 10	-0.26872	-0.80616	SLE RA 4	2.852	SLE RA 4	2.852		
35	SLD 7	-0.18229	-0.54687	SLD 10	-0.26895	-0.80684	SLE RA 4	2.80975	SLE RA 4	2.80975		
36	SLD 7	-0.18165	-0.54495	SLD 10	-0.2694	-0.8082	SLE RA 4	2.72952	SLE RA 4	2.72952		
37	SLD 7	-0.181	-0.54301	SLD 10	-0.27004	-0.81012	SLE RA 4	2.6677	SLE RA 4	2.6677		
38	SLD 7	-0.18036	-0.54107	SLD 10	-0.27086	-0.81259	SLE RA 4	2.61129	SLE RA 4	2.61129		
39	SLD 7	-0.1797	-0.5391	SLD 10	-0.27191	-0.81573	SLE RA 4	2.50974	SLE RA 4	2.50974		
40	SLD 7	-0.1789	-0.53669	SLD 10	-0.27309	-0.81926	SLE RA 4	2.35187	SLE RA 4	2.35187		
41	SLD 7	-0.17774	-0.53323	SLD 10	-0.27409	-0.82226	SLE RA 4	2.00529	SLE RA 4	2.00529		
42	SLD 7	-0.17685	-0.53056	SLD 10	-0.27453	-0.8236	SLE RA 4	1.55602	SLE RA 4	1.55602		
43	SLD 7	-0.18726	-0.56178	SLD 10	-0.25784	-0.77352	SLE RA 4	2.96997	SLE RA 4	2.96997		
44	SLD 7	-0.1867	-0.56011	SLD 10	-0.25822	-0.77467	SLE RA 4	2.90444	SLE RA 4	2.90444		
45	SLD 7	-0.18818	-0.56455	SLD 10	-0.25792	-0.77375	SLE RA 4	3.03069	SLE RA 4	3.03069		
46	SLD 7	-0.18659	-0.55976	SLD 10	-0.25897	-0.77691	SLE RA 4	2.82987	SLE RA 4	2.82987		
47	SLD 7	-0.1897	-0.56909	SLD 10	-0.25795	-0.77384	SLE RA 4	3.09687	SLE RA 4	3.09687		
48	SLD 7	-0.1871	-0.56131	SLD 10	-0.25987	-0.77962	SLE RA 4	2.73181	SLE RA 4	2.73181		
49	SLD 12	-0.18668	-0.56005	SLD 5	-0.26506	-0.79518	SLE RA 4	2.30501	SLE RA 4	2.30501		
50	SLD 12	-0.18747	-0.5624	SLD 5	-0.26225	-0.78675	SLE RA 4	2.52552	SLE RA 4	2.52552		
51	SLD 12	-0.18745	-0.56236	SLD 5	-0.2588	-0.77641	SLE RA 4	2.73534	SLE RA 4	2.73534		
52	SLD 12	-0.18735	-0.56204	SLD 5	-0.25604	-0.76812	SLE RA 4	2.86887	SLE RA 4	2.86887		
53	SLD 12	-0.18754	-0.56261	SLD 5	-0.25438	-0.76314	SLE RA 4	2.96052	SLE RA 4	2.96052		
54	SLD 12	-0.18817	-0.56451	SLD 5	-0.25392	-0.76175	SLE RA 4	3.02995	SLE RA 4	3.02995		
55	SLD 12	-0.18925	-0.56774	SLD 5	-0.25462	-0.76386	SLE RA 4	3.08604	SLE RA 4	3.08604		
56	SLD 12	-0.19063	-0.57188	SLD 5	-0.25631	-0.76894	SLE RA 4	3.13089	SLE RA 4	3.13089		
57	SLD 12	-0.19197	-0.57592	SLD 5	-0.25846	-0.77538	SLE RA 4	3.16191	SLE RA 4	3.16191		
58	SLD 8	-0.1928	-0.5784	SLD 9	-0.25955	-0.77864	SLE RA 4	3.17372	SLE RA 4	3.17372		
59	SLD 7	-0.19262	-0.57787	SLD 10	-0.25725	-0.77175	SLE RA 4	3.19506	SLE RA 4	3.19506		
60	SLD 12	-0.18708	-0.56124	SLD 5	-0.26458	-0.79374	SLE RA 4	2.11403	SLE RA 4	2.11403		
61	SLD 7	-0.18788	-0.56365	SLD 10	-0.26462	-0.79385	SLE RA 4	2.32982	SLE RA 4	2.32982		
62	SLD 7	-0.18699	-0.56096	SLD 10	-0.26561	-0.79684	SLE RA 4	1.80542	SLE RA 4	1.80542		
63	SLD 7	-0.18926	-0.56777	SLD 10	-0.26008	-0.78024	SLE RA 4	2.58784	SLE RA 4	2.58784		
64	SLD 12	-0.18797	-0.56391	SLD 5	-0.26383	-0.7915	SLE RA 4	1.85368	SLE RA 4	1.85368		
65	SLD 7	-0.19011	-0.57032	SLD 10	-0.24501	-0.73504	SLE RA 4	3.16604	SLE RA 4	3.16604		
66	SLD 7	-0.19145	-0.57436	SLD 10	-0.2462	-0.7386	SLE RA 4	3.22896	SLE RA 4	3.22896		
67	SLD 7	-0.18956	-0.56867	SLD 10	-0.24513	-0.7354	SLE RA 4	3.09728	SLE RA 4	3.09728		
68	SLD 7	-0.19337	-0.58011	SLD 10	-0.24796	-0.74387	SLE RA 4	3.28498	SLE RA 4	3.28498		
69	SLD 7	-0.1899	-0.56969	SLD 10	-0.24659	-0.73978	SLE RA 4	3.01868	SLE RA 4	3.01868		
70	SLD 7	-0.19533	-0.58598	SLD 10	-0.2492	-0.74761	SLE RA 4	3.32951	SLE RA 4	3.32951		
71	SLD 7	-0.19108	-0.57324	SLD 10	-0.24869	-0.74608	SLE RA 4	2.92676	SLE RA 4	2.92676		
72	SLD 7	-0.19264	-0.57792	SLD 10	-0.25042	-0.75126	SLE RA 4	2.83528	SLE RA 4	2.83528		
73	SLD 12	-0.1939	-0.5817	SLD 5	-0.25815	-0.77445	SLE RA 4	2.24927	SLE RA 4	2.24927		
74	SLD 12	-0.19542	-0.58625	SLD 5	-0.25649	-0.76946	SLE RA 4	2.47257	SLE RA 4	2.47257		
75	SLD 12	-0.19498	-0.58493	SLD 5	-0.25159	-0.75476	SLE RA 4	2.71172	SLE RA 4	2.71172		
76	SLD 12	-0.19299	-0.57898	SLD 5	-0.24534	-0.73602	SLE RA 4	2.93354	SLE RA 4	2.93354		
77	SLD 12	-0.19121	-0.57362	SLD 5	-0.24039	-0.72117	SLE RA 4	3.07222	SLE RA 4	3.07222		
78	SLD 12	-0.19046	-0.57137	SLD 5	-0.23764	-0.71291	SLE RA 4	3.168	SLE RA 4	3.168		
79	SLD 12	-0.19106	-0.57318	SLD 5	-0.2373	-0.71191	SLE RA 4	3.24405	SLE RA 4	3.24405		
80	SLD 12	-0.19301	-0.57904	SLD 5	-0.23933	-0.71798	SLE RA 4	3.31021	SLE RA 4	3.31021		
81	SLD 12	-0.19601	-0.58802	SLD 5	-0.24332	-0.72996	SLE RA 4	3.36728	SLE RA 4	3.36728		
82	SLD 12	-0.19922	-0.59766	SLD 5	-0.24812	-0.74436	SLE RA 4	3.4099	SLE RA 4	3.4099		
83	SLD 8	-0.20106	-0.60318	SLD 9	-0.25069	-0.75208	SLE RA 4	3.43052	SLE RA 4	3.43052		
84	SLD 7	-0.20053	-0.60159	SLD 10	-0.24769	-0.74306	SLE RA 4	3.44702	SLE RA 4	3.44702		
85	SLD 7	-0.19754	-0.59263	SLD 10	-0.25509	-0.76526	SLE RA 4	2.47812	SLE RA 4	2.47812		
86	SLD 7	-0.19684	-0.59053	SLD 10	-0.25676	-0.77028	SLE RA 4	1.92838	SLE RA 4	1.92838		
87	SLD 7	-0.19945	-0.59834	SLD 10	-0.24236	-0.72707	SLE RA 4	3.45707	SLE RA 4	3.45707		
88	SLD 7	-0.19775	-0.59324	SLD 10	-0.24964	-0.74893	SLE RA 4	2.71175	SLE RA 4	2.71175		
89	SLD 7	-0.19683	-0.5905	SLD 10	-0.2375	-0.71251	SLE RA 4	3.42582	SLE RA 4	3.42582		
90	SLD 7	-0.19405	-0.58215	SLD 10	-0.23385	-0.70154	SLE RA 4	3.37053	SLE RA 4	3.37053		
91	SLD 7	-0.19203	-0.5761	SLD 10	-0.23137	-0.6941	SLE RA 4	3.30447	SLE RA 4	3.30447		
92	SLD 7	-0.19144	-0.57432	SLD 10	-0.2312	-0.6936	SLE RA 4	3.23274	SLE RA 4	3.23274		
93	SLD 7	-0.19243	-0.57729	SLD 10	-0.23329	-0.69987	SLE RA 4	3.15334	SLE RA 4	3.15334		
94	SLD 7	-0.19694	-0.59082	SLD 10	-0.24271	-0.72812	SLE RA 4	2.91781	SLE RA 4	2.91781		
95	SLD 12	-0.19902	-0.59706	SLD 5	-0.25377	-0.76131	SLE RA 4	1.9608	SLE RA 4	1.9608		
96	SLD 7	-0.19459	-0.58377	SLD 10	-0.23706	-0.71117	SLE RA 4	3.05825	SLE RA 4	3.05825		
97	SLD 16	-0.20227	-0.6068	SLD 1	-0.25028	-0.75083	SLE RA 4	2.34701	SLE RA 4	2.34701		
98	SLD 16	-0.20369	-0.61106	SLD 1	-0.24834	-0.74501	SLE RA 4	2.55416	SLE RA 4	2.55416		
99	SLD 12	-0.20211	-0.60634	SLD 5	-0.24161	-0.72482	SLE RA 4	2.81882	SLE RA 4	2.81882		
100	SLD 12	-0.19796	-0.59389	SLD 5	-0.23325	-0.69976	SLE RA 4	3.04458	SLE RA 4	3.04458		
101	SLD 12	-0.19435	-0.58305	SLD 5	-0.22655	-0.67966	SLE RA 4	3.18414	SLE RA 4	3.18414		
102	SLD 12	-0.19259	-0.57777	SLD 5	-0.22289	-0.66867	SLE RA 4	3.28167	SLE RA 4	3.28167		
103	SLD 12	-0.19319	-0.57956	SLD 5	-0.22266	-0.66799	SLE RA 4	3.36271	SLE RA 4	3.36271		
104	SLD 12	-0.19613	-0.58839	SLD 5	-0.22577	-0.67732	SLE RA 4	3.43758	SLE RA 4	3.43758		
105	SLD 12	-0.20092	-0.60276	SLD 5	-0.23161	-0.69483	SLE RA 4	3.50563	SLE RA 4	3.50563		
106	SLD 12	-0.2062	-0.6186	SLD 5	-0.23842	-0.71527	SLE RA 4	3.55897	SLE RA 4	3.55897		
107	SLD 8	-0.20913	-0.62739	SLD 9	-0.24204	-0.72613	SLE RA 4	3.58752	SLE RA 4	3.58752		
108	SLD 8	-0.20788	-0.62364	SLD 9	-0.23923	-0.7177	SLE RA 4	3.58978	SLE RA 4	3.58978		
109	SLD 7	-0.20496	-0.61489	SLD 10	-0.23423	-0.70269	SLE RA 4	3.56839	SLE RA 4	3.56839		
110	SLD 7	-0.20085	-0.60255	SLD 10	-0.2279	-0.68371	SLE RA 4	3.52204	SLE RA 4	3.52204		
111	SLD 7	-0.19685	-0.59055	SLD 10	-0.22251	-0.66754	SLE RA 4	3.45906	SLE RA 4	3.45906		
112	SLD 7	-0.19414	-0.58241	SLD 10	-0.21929	-0.65788	SLE RA 4	3.38905	SLE RA 4	3.38905		
113	SLD 7	-0.19348	-0.58044	SLD 10	-0.21873	-0.65618	SLE RA 4	3.31531	SLE RA 4	3.31531		
114	SLD 3	-0.20484	-0.61453	SLD 14	-0.2479	-0.74371	SLE RA 4	2.5579	SLE RA 4	2.5579		
115	SLD 3	-0.20271	-0.60812	SLD 14	-0.25188	-0.75563	SLE RA 4	1.9969	SLE RA 4	1.9969		
116	SLD 7	-0.19508	-0.58524	SLD 10	-0.22116	-0.66349	SLE RA 4	3.23578	SLE RA 4	3.23578		
117	SLD 3	-0.20528	-0.61584	SLD 14	-0.24079	-0.72236	SLE RA 4	2.78534	SLE RA 4	2.78534		
118	SLD 7	-0.19849	-0.59546	SLD 10	-0.22644	-0.67933	SLE RA 4	3.13339	SLE RA 4	3.13339		
119	SLD 7	-0.20263	-0.60788	SLD 10	-0.23356	-0.70068	SLE RA 4	2.98436	SLE RA 4	2.98436		
120	SLD 16	-0.20348	-0.61043	SLD 1	-0.25037	-0.75111	SLE RA 4	2.06517	SLE RA 4	2.06517		
121	SLD 16	-0.20535	-0.61605	SLD 1	-0.24785	-0.74354	SLE RA 4	2.47005	SLE RA 4	2.47005		
122	SLD 16	-0.20638	-0.61915	SLD 1	-0.24584	-0.73753	SLE RA 4	2.63912	SLE RA 4	2.63912		
123	SLD 16	-0.20594	-0.61782	SLD 1	-0.23605	-0.70814	SLE RA 4	2.87367	SLE RA 4	2.87367		
124	SLD 16	-0.20203	-0.60608	SLE RA 4	-0.22497	-0.6749	SLE RA 4	3.10036	SLE RA 4	3.10036		
125	SLD 12	-0.19831	-0.59492	SLE RA 4	-0.21704	-0.65111	SLE RA 4					

Relazione sulle fondazioni

Nodo Ind.	spostamento nodale massimo			spostamento nodale minimo			Cedimento elastico		Cedimento edometrico		Cedimento di consolidazione	
	Cont.	uz	Press.	Cont.	uz	Press.	Cont.	v.	Cont.	v.	Cont.	v.
131	SLD 8	-0.21727	-0.6518	SLE RA 4	-0.24181	-0.72544	SLE RA 4	3.67183	SLE RA 4	3.67183		
132	SLD 16	-0.20554	-0.61662	SLD 1	-0.2476	-0.74281	SLE RA 4	2.49001	SLE RA 4	2.49001		
133	SLD 8	-0.21541	-0.64623	SLE RA 4	-0.23905	-0.71715	SLE RA 4	3.66693	SLE RA 4	3.66693		
134	SLD 7	-0.21135	-0.63405	SLE RA 4	-0.23323	-0.6997	SLE RA 4	3.63602	SLE RA 4	3.63602		
135	SLD 7	-0.20589	-0.61766	SLE RA 4	-0.22537	-0.67612	SLE RA 4	3.57903	SLE RA 4	3.57903		
136	SLD 7	-0.20078	-0.60233	SLE RA 4	-0.2181	-0.6543	SLE RA 4	3.50843	SLE RA 4	3.50843		
137	SLD 7	-0.19749	-0.59247	SLE RA 4	-0.21345	-0.64036	SLE RA 4	3.43533	SLE RA 4	3.43533		
138	SLD 7	-0.19674	-0.59022	SLE RA 4	-0.21222	-0.63667	SLE RA 4	3.35927	SLE RA 4	3.35927		
139	SLD 3	-0.19802	-0.59406	SLE RA 4	-0.21494	-0.64481	SLE RA 4	3.27698	SLE RA 4	3.27698		
140	SLD 3	-0.20102	-0.60306	SLE RA 4	-0.22121	-0.66364	SLE RA 4	3.17277	SLE RA 4	3.17277		
141	SLD 3	-0.20476	-0.61427	SLE RA 4	-0.22911	-0.68733	SLE RA 4	3.03266	SLE RA 4	3.03266		
142	SLD 3	-0.20786	-0.62357	SLD 14	-0.24521	-0.73564	SLE RA 4	2.59848	SLE RA 4	2.59848		
143	SLD 3	-0.20583	-0.61749	SLD 14	-0.2496	-0.7488	SLE RA 4	2.03111	SLE RA 4	2.03111		
144	SLD 3	-0.20774	-0.62321	SLD 14	-0.23758	-0.71274	SLE RA 4	2.82408	SLE RA 4	2.82408		
146	SLD 13	-0.20698	-0.62094	SLD 4	-0.24771	-0.74313	SLE RA 4	2.02999	SLE RA 4	2.02999		
147	SLD 13	-0.20867	-0.62601	SLD 4	-0.2445	-0.7335	SLE RA 4	2.5156	SLE RA 4	2.5156		
148	SLD 13	-0.2091	-0.62731	SLD 4	-0.24355	-0.73064	SLE RA 4	2.58751	SLE RA 4	2.58751		
149	SLD 13	-0.20825	-0.62475	SLE RA 4	-0.23476	-0.70429	SLE RA 4	2.89134	SLE RA 4	2.89134		
150	SLD 13	-0.20374	-0.61121	SLE RA 4	-0.2242	-0.67259	SLE RA 4	3.11889	SLE RA 4	3.11889		
151	SLD 14	-0.19963	-0.59889	SLE RA 4	-0.21576	-0.64727	SLE RA 4	3.25792	SLE RA 4	3.25792		
152	SLD 14	-0.19793	-0.59378	SLE RA 4	-0.21151	-0.63454	SLE RA 4	3.35628	SLE RA 4	3.35628		
153	SLD 16	-0.19947	-0.59841	SLE RA 4	-0.21215	-0.63644	SLE RA 4	3.44159	SLE RA 4	3.44159		
154	SLD 16	-0.20439	-0.61318	SLE RA 4	-0.21753	-0.65258	SLE RA 4	3.52447	SLE RA 4	3.52447		
155	SLD 16	-0.21209	-0.63628	SLE RA 4	-0.22661	-0.67984	SLE RA 4	3.60284	SLE RA 4	3.60284		
156	SLD 16	-0.22064	-0.66192	SLE RA 4	-0.23672	-0.71016	SLE RA 4	3.6662	SLE RA 4	3.6662		
157	SLD 8	-0.22557	-0.67672	SLE RA 4	-0.24206	-0.72619	SLE RA 4	3.70083	SLE RA 4	3.70083		
158	SLD 2	-0.22282	-0.66845	SLE RA 4	-0.23925	-0.71776	SLE RA 4	3.69381	SLE RA 4	3.69381		
159	SLD 2	-0.21742	-0.65226	SLE RA 4	-0.23302	-0.69907	SLE RA 4	3.65898	SLE RA 4	3.65898		
160	SLD 2	-0.2106	-0.6318	SLE RA 4	-0.22497	-0.67492	SLE RA 4	3.59908	SLE RA 4	3.59908		
161	SLD 2	-0.20426	-0.61277	SLE RA 4	-0.21757	-0.65272	SLE RA 4	3.52698	SLE RA 4	3.52698		
162	SLD 2	-0.19978	-0.59933	SLE RA 4	-0.21272	-0.63816	SLE RA 4	3.45179	SLE RA 4	3.45179		
163	SLD 2	-0.1978	-0.59341	SLE RA 4	-0.21144	-0.63433	SLE RA 4	3.37524	SLE RA 4	3.37524		
164	SLD 2	-0.19847	-0.59541	SLE RA 4	-0.21415	-0.64245	SLE RA 4	3.29288	SLE RA 4	3.29288		
165	SLD 2	-0.20131	-0.60392	SLE RA 4	-0.22054	-0.66161	SLE RA 4	3.18846	SLE RA 4	3.18846		
166	SLD 2	-0.20486	-0.61458	SLE RA 4	-0.22879	-0.68636	SLE RA 4	3.04675	SLE RA 4	3.04675		
167	SLD 2	-0.20798	-0.62393	SLD 15	-0.23747	-0.71242	SLE RA 4	2.83295	SLE RA 4	2.83295		
168	SLD 2	-0.20816	-0.62449	SLD 15	-0.24543	-0.73629	SLE RA 4	2.60108	SLE RA 4	2.60108		
169	SLD 2	-0.20615	-0.61844	SLD 15	-0.24982	-0.74946	SLE RA 4	2.03442	SLE RA 4	2.03442		
170	SLD 13	-0.20662	-0.61986	SLD 4	-0.24733	-0.74199	SLE RA 4	2.44615	SLE RA 4	2.44615		
171	SLD 6	-0.21172	-0.63515	SLE RA 4	-0.23419	-0.70257	SLE RA 4	3.6438	SLE RA 4	3.6438		
172	SLD 6	-0.20603	-0.61809	SLE RA 4	-0.22653	-0.6796	SLE RA 4	3.58595	SLE RA 4	3.58595		
173	SLD 6	-0.21589	-0.64767	SLE RA 4	-0.23991	-0.71973	SLE RA 4	3.67505	SLE RA 4	3.67505		
174	SLD 13	-0.20682	-0.62045	SLD 4	-0.24637	-0.73911	SLE RA 4	2.59909	SLE RA 4	2.59909		
175	SLD 13	-0.20635	-0.61905	SLD 4	-0.23652	-0.70957	SLE RA 4	2.87735	SLE RA 4	2.87735		
176	SLD 13	-0.20242	-0.60725	SLE RA 4	-0.22562	-0.67687	SLE RA 4	3.1058	SLE RA 4	3.1058		
177	SLD 9	-0.19868	-0.59604	SLE RA 4	-0.21767	-0.65302	SLE RA 4	3.24563	SLE RA 4	3.24563		
178	SLD 9	-0.19611	-0.58834	SLE RA 4	-0.21369	-0.64106	SLE RA 4	3.34412	SLE RA 4	3.34412		
179	SLD 9	-0.19673	-0.5902	SLE RA 4	-0.21429	-0.64287	SLE RA 4	3.42855	SLE RA 4	3.42855		
180	SLD 9	-0.20055	-0.60164	SLE RA 4	-0.21936	-0.65808	SLE RA 4	3.50952	SLE RA 4	3.50952		
181	SLD 9	-0.20688	-0.62065	SLE RA 4	-0.22793	-0.6838	SLE RA 4	3.58537	SLE RA 4	3.58537		
182	SLD 10	-0.21395	-0.64184	SLE RA 4	-0.23749	-0.71248	SLE RA 4	3.64643	SLE RA 4	3.64643		
183	SLD 6	-0.21781	-0.65344	SLE RA 4	-0.24256	-0.72769	SLE RA 4	3.6802	SLE RA 4	3.6802		
184	SLD 6	-0.20074	-0.60222	SLE RA 4	-0.21959	-0.65877	SLE RA 4	3.51558	SLE RA 4	3.51558		
185	SLD 6	-0.19711	-0.59132	SLE RA 4	-0.21503	-0.64508	SLE RA 4	3.44155	SLE RA 4	3.44155		
186	SLD 6	-0.19574	-0.58723	SLE RA 4	-0.21387	-0.64161	SLE RA 4	3.36663	SLE RA 4	3.36663		
187	SLD 6	-0.19667	-0.59002	SLE RA 4	-0.21629	-0.64888	SLE RA 4	3.2866	SLE RA 4	3.2866		
188	SLD 13	-0.20407	-0.6122	SLD 4	-0.25115	-0.75345	SLE RA 4	2.01339	SLE RA 4	2.01339		
189	SLD 6	-0.19923	-0.5977	SLD 11	-0.22248	-0.66743	SLE RA 4	3.1862	SLE RA 4	3.1862		
190	SLD 2	-0.20565	-0.61694	SLD 15	-0.24866	-0.74597	SLE RA 4	2.5693	SLE RA 4	2.5693		
191	SLD 2	-0.20354	-0.61061	SLD 15	-0.25264	-0.75793	SLE RA 4	2.00542	SLE RA 4	2.00542		
192	SLD 2	-0.20588	-0.61763	SLD 15	-0.24122	-0.72366	SLE RA 4	2.80269	SLE RA 4	2.80269		
193	SLD 6	-0.20193	-0.6058	SLD 11	-0.2336	-0.7008	SLE RA 4	3.02393	SLE RA 4	3.02393		
194	SLD 6	-0.20169	-0.60508	SLD 11	-0.23025	-0.69075	SLE RA 4	3.53416	SLE RA 4	3.53416		
195	SLD 6	-0.1976	-0.59281	SLD 11	-0.22555	-0.67666	SLE RA 4	3.47023	SLE RA 4	3.47023		
196	SLD 6	-0.20589	-0.61766	SLE RA 4	-0.23595	-0.70784	SLE RA 4	3.58277	SLE RA 4	3.58277		
197	SLD 6	-0.19471	-0.58412	SLD 11	-0.2228	-0.66841	SLE RA 4	3.4012	SLE RA 4	3.4012		
198	SLD 6	-0.20884	-0.62653	SLE RA 4	-0.24085	-0.72256	SLE RA 4	3.60531	SLE RA 4	3.60531		
199	SLD 6	-0.19351	-0.58053	SLD 11	-0.22278	-0.66834	SLE RA 4	3.32995	SLE RA 4	3.32995		
200	SLD 13	-0.20456	-0.61368	SLD 4	-0.24933	-0.748	SLE RA 4	2.5658	SLE RA 4	2.5658		
201	SLD 9	-0.20295	-0.60884	SLD 8	-0.24257	-0.72771	SLE RA 4	2.82737	SLE RA 4	2.82737		
202	SLD 9	-0.19877	-0.59631	SLD 8	-0.23417	-0.7025	SLE RA 4	3.05556	SLE RA 4	3.05556		
203	SLD 9	-0.19515	-0.58544	SLD 8	-0.22743	-0.68228	SLE RA 4	3.19632	SLE RA 4	3.19632		
204	SLD 9	-0.19339	-0.58018	SLD 8	-0.22375	-0.67124	SLE RA 4	3.29452	SLE RA 4	3.29452		
205	SLD 9	-0.19401	-0.58203	SLD 8	-0.22351	-0.67054	SLE RA 4	3.37605	SLE RA 4	3.37605		
206	SLD 9	-0.197	-0.59099	SLD 8	-0.22663	-0.6799	SLE RA 4	3.45135	SLE RA 4	3.45135		
207	SLD 9	-0.20184	-0.60552	SLD 8	-0.23249	-0.69746	SLE RA 4	3.51982	SLE RA 4	3.51982		
208	SLD 9	-0.20718	-0.62155	SLD 8	-0.23933	-0.71798	SLE RA 4	3.57387	SLE RA 4	3.57387		
209	SLD 6	-0.21015	-0.63044	SLE RA 4	-0.24331	-0.72994	SLE RA 4	3.60403	SLE RA 4	3.60403		
210	SLD 6	-0.19401	-0.58203	SLD 11	-0.22553	-0.67659	SLE RA 4	3.25404	SLE RA 4	3.25404		
211	SLD 6	-0.19563	-0.5869	SLD 11	-0.23034	-0.69101	SLE RA 4	3.16875	SLE RA 4	3.16875		
212	SLD 13	-0.20313	-0.6094	SLD 4	-0.25156	-0.75469	SLE RA 4	2.36788	SLE RA 4	2.36788		
213	SLD 6	-0.19723	-0.5917	SLD 11	-0.23563	-0.7069	SLE RA 4	3.07862	SLE RA 4	3.07862		
214	SLD 9	-0.20014	-0.60041	SLD 8	-0.25523	-0.76568	SLE RA 4	1.97838	SLE RA 4	1.97838		
215	SLD 6	-0.19726	-0.59179	SLD 11	-0.24622	-0.73867	SLE RA 4	2.90267	SLE RA 4	2.90267		
216	SLD 6	-0.19817	-0.59452	SLD 11	-0.24034	-0.72101	SLE RA 4	3.4403	SLE RA 4	3.4403		
217	SLD 6	-0.20084	-0.60251	SLD 11	-0.24454	-0.73363	SLE RA 4	3.47547	SLE RA 4	3.47547		
218	SLD 6	-0.19863	-0.59589	SLD 11	-0.25144	-0.75431	SLE RA 4	2.71711	SLE RA 4	2.71711		
219	SLD 6	-0.19534	-0.58601	SLD 11	-0.23741	-0.71223	SLE RA 4	3.38254	SLE RA 4	3.38254		
220	SLD 6	-0.19322	-0.57965	SLD 11	-0.23527	-0.70582	SLE RA 4	3.31983	SLE RA 4	3.31983		
221	SLD 6	-0.19899	-0.59698	SLD 11	-0.2562	-0.76861	SLE RA 4	2.4917	SLE RA 4	2.4917		
222	SLD 6	-0.19834	-0.59503	SLD 11	-0.2579	-0.77369	SLE RA 4	1.93808	SLE RA 4	1.93808		
223	SLD 6	-0.19221	-0.57663	SLD 11	-0.2352	-0.70561	SLE RA 4	3.25287	SLE RA 4	3.25287		
224	SLD 6	-0.19231	-0.57693	SLD 11	-0.23744	-0.71232	SLE RA 4	3.17761	SLE RA 4	3.17761		
225	SLD 6	-0.19483	-0.5845	SLD 11	-0.24432							

Relazione sulle fondazioni

Nodo Ind.	spostamento nodale massimo			spostamento nodale minimo			Cedimento elastico		Cedimento edometrico		Cedimento di consolidazione	
	Cont.	uz	Press.	Cont.	uz	Press.	Cont.	v.	Cont.	v.	Cont.	v.
231	SLD 9	-0.19246	-0.57739	SLD 8	-0.24175	-0.72525	SLE RA 4	3.08969	SLE RA 4	3.08969		
232	SLD 9	-0.19172	-0.57516	SLD 8	-0.23898	-0.71693	SLE RA 4	3.18637	SLE RA 4	3.18637		
233	SLD 9	-0.19235	-0.57704	SLD 8	-0.23864	-0.71592	SLE RA 4	3.26308	SLE RA 4	3.26308		
234	SLD 9	-0.19434	-0.58303	SLD 8	-0.24067	-0.72202	SLE RA 4	3.32981	SLE RA 4	3.32981		
235	SLD 9	-0.19739	-0.59218	SLD 8	-0.24469	-0.73408	SLE RA 4	3.38742	SLE RA 4	3.38742		
236	SLD 9	-0.20067	-0.60202	SLD 8	-0.24952	-0.74856	SLE RA 4	3.43095	SLE RA 4	3.43095		
237	SLD 6	-0.20255	-0.60765	SLD 11	-0.25208	-0.75624	SLE RA 4	3.45404	SLE RA 4	3.45404		
238	SLD 9	-0.19425	-0.58275	SLD 8	-0.26095	-0.78284	SLE RA 4	2.24018	SLE RA 4	2.24018		
239	SLD 6	-0.19346	-0.58039	SLD 11	-0.25421	-0.76263	SLE RA 4	2.81125	SLE RA 4	2.81125		
240	SLD 6	-0.197	-0.591	SLD 11	-0.25161	-0.75483	SLE RA 4	3.34996	SLE RA 4	3.34996		
241	SLD 6	-0.19505	-0.58515	SLD 11	-0.25085	-0.75255	SLE RA 4	3.30153	SLE RA 4	3.30153		
242	SLD 6	-0.1919	-0.57569	SLD 11	-0.2538	-0.76139	SLE RA 4	2.88471	SLE RA 4	2.88471		
243	SLD 6	-0.19316	-0.57947	SLD 11	-0.24925	-0.74776	SLE RA 4	3.24805	SLE RA 4	3.24805		
244	SLD 6	-0.19166	-0.57498	SLD 11	-0.24868	-0.74605	SLE RA 4	3.18487	SLE RA 4	3.18487		
245	SLD 6	-0.19065	-0.57194	SLD 11	-0.24977	-0.74932	SLE RA 4	3.0562	SLE RA 4	3.0562		
246	SLD 6	-0.19082	-0.57246	SLD 11	-0.24883	-0.7465	SLE RA 4	3.1215	SLE RA 4	3.1215		
247	SLD 6	-0.19086	-0.57257	SLD 11	-0.25248	-0.75745	SLE RA 4	2.96609	SLE RA 4	2.96609		
248	SLD 9	-0.18964	-0.56893	SLD 8	-0.26579	-0.79736	SLE RA 4	1.85085	SLE RA 4	1.85085		
249	SLD 6	-0.1908	-0.5724	SLD 11	-0.26232	-0.78697	SLE RA 4	2.59327	SLE RA 4	2.59327		
250	SLD 6	-0.18985	-0.56956	SLD 11	-0.26626	-0.79878	SLE RA 4	2.34072	SLE RA 4	2.34072		
251	SLD 6	-0.18899	-0.56698	SLD 11	-0.26727	-0.80182	SLE RA 4	1.81484	SLE RA 4	1.81484		
252	SLD 6	-0.19464	-0.58391	SLD 11	-0.25921	-0.77763	SLE RA 4	3.22636	SLE RA 4	3.22636		
253	SLD 9	-0.18847	-0.5654	SLD 8	-0.26703	-0.8011	SLE RA 4	2.32797	SLE RA 4	2.32797		
254	SLD 9	-0.18924	-0.56773	SLD 8	-0.2642	-0.7926	SLE RA 4	2.54239	SLE RA 4	2.54239		
255	SLD 9	-0.18922	-0.56765	SLD 8	-0.26071	-0.78214	SLE RA 4	2.7548	SLE RA 4	2.7548		
256	SLD 9	-0.18911	-0.56733	SLD 8	-0.25792	-0.77377	SLE RA 4	2.89007	SLE RA 4	2.89007		
257	SLD 9	-0.18931	-0.56793	SLD 8	-0.25625	-0.76875	SLE RA 4	2.9828	SLE RA 4	2.9828		
258	SLD 9	-0.18996	-0.56989	SLD 8	-0.25579	-0.76736	SLE RA 4	3.05299	SLE RA 4	3.05299		
259	SLD 9	-0.19108	-0.57323	SLD 8	-0.2565	-0.76949	SLE RA 4	3.10975	SLE RA 4	3.10975		
260	SLD 9	-0.1925	-0.57751	SLD 8	-0.2582	-0.77461	SLE RA 4	3.15529	SLE RA 4	3.15529		
261	SLD 9	-0.1939	-0.5817	SLD 8	-0.26037	-0.78111	SLE RA 4	3.18751	SLE RA 4	3.18751		
262	SLD 6	-0.19477	-0.5843	SLD 11	-0.26143	-0.7843	SLE RA 4	3.2022	SLE RA 4	3.2022		
263	SLD 9	-0.18725	-0.56174	SLD 8	-0.26828	-0.80483	SLE RA 4	2.10804	SLE RA 4	2.10804		
264	SLD 6	-0.1885	-0.5655	SLD 11	-0.26328	-0.78985	SLE RA 4	2.71075	SLE RA 4	2.71075		
265	SLD 6	-0.19171	-0.57512	SLD 11	-0.2605	-0.78151	SLE RA 4	3.21654	SLE RA 4	3.21654		
266	SLD 6	-0.19021	-0.57064	SLD 11	-0.2606	-0.78181	SLE RA 4	3.1419	SLE RA 4	3.1419		
267	SLD 6	-0.18789	-0.56366	SLD 11	-0.26293	-0.78878	SLE RA 4	2.90375	SLE RA 4	2.90375		
268	SLD 6	-0.18804	-0.56412	SLD 11	-0.26185	-0.78554	SLE RA 4	2.96784	SLE RA 4	2.96784		
269	SLD 6	-0.18912	-0.56735	SLD 11	-0.26095	-0.78285	SLE RA 4	3.08864	SLE RA 4	3.08864		
270	SLD 6	-0.18846	-0.56538	SLD 11	-0.26115	-0.78344	SLE RA 4	3.02949	SLE RA 4	3.02949		
271	SLD 9	-0.17887	-0.5366	SLD 8	-0.27641	-0.82924	SLE RA 4	1.5928	SLE RA 4	1.5928		
272	SLD 9	-0.1798	-0.53939	SLD 8	-0.27604	-0.82811	SLE RA 4	2.01254	SLE RA 4	2.01254		
273	SLD 9	-0.18099	-0.54297	SLD 8	-0.27508	-0.82525	SLE RA 4	2.35875	SLE RA 4	2.35875		
274	SLD 9	-0.18183	-0.54549	SLD 8	-0.27396	-0.82188	SLE RA 4	2.5424	SLE RA 4	2.5424		
275	SLD 9	-0.18254	-0.54761	SLD 8	-0.27297	-0.81891	SLE RA 4	2.65725	SLE RA 4	2.65725		
276	SLD 9	-0.18322	-0.54967	SLD 8	-0.27218	-0.81655	SLE RA 4	2.73803	SLE RA 4	2.73803		
277	SLD 9	-0.18391	-0.55174	SLD 8	-0.2716	-0.8148	SLE RA 4	2.79823	SLE RA 4	2.79823		
278	SLD 9	-0.18461	-0.55383	SLD 8	-0.27122	-0.81365	SLE RA 4	2.84434	SLE RA 4	2.84434		
279	SLD 9	-0.18529	-0.55587	SLD 8	-0.27103	-0.81309	SLE RA 4	2.87898	SLE RA 4	2.87898		
280	SLD 9	-0.18588	-0.55763	SLD 8	-0.27099	-0.81296	SLE RA 4	2.90399	SLE RA 4	2.90399		
281	SLD 6	-0.18635	-0.55905	SLD 11	-0.27074	-0.81222	SLE RA 4	2.93934	SLE RA 4	2.93934		
282	SLD 6	-0.18596	-0.55789	SLD 11	-0.27101	-0.81302	SLE RA 4	2.89424	SLE RA 4	2.89424		
283	SLD 6	-0.18549	-0.55647	SLD 11	-0.27106	-0.81318	SLE RA 4	2.87212	SLE RA 4	2.87212		
284	SLD 6	-0.18493	-0.55479	SLD 11	-0.27122	-0.81366	SLE RA 4	2.83378	SLE RA 4	2.83378		
285	SLD 6	-0.18434	-0.55303	SLD 11	-0.2715	-0.81449	SLE RA 4	2.83748	SLE RA 4	2.83748		
286	SLD 6	-0.18377	-0.55132	SLD 11	-0.272	-0.816	SLE RA 4	2.72003	SLE RA 4	2.72003		
287	SLD 6	-0.18319	-0.54958	SLD 11	-0.27261	-0.81782	SLE RA 4	2.68251	SLE RA 4	2.68251		
288	SLD 6	-0.18261	-0.54784	SLD 11	-0.27339	-0.82016	SLE RA 4	2.61249	SLE RA 4	2.61249		
289	SLD 6	-0.18202	-0.54605	SLD 11	-0.27435	-0.82305	SLE RA 4	2.49341	SLE RA 4	2.49341		
290	SLD 6	-0.18128	-0.54385	SLD 11	-0.27539	-0.82618	SLE RA 4	2.33632	SLE RA 4	2.33632		
291	SLD 6	-0.18025	-0.54074	SLD 11	-0.27627	-0.8288	SLE RA 4	2.01525	SLE RA 4	2.01525		
292	SLD 6	-0.17938	-0.53813	SLD 11	-0.27671	-0.83012	SLE RA 4	1.56469	SLE RA 4	1.56469		
293	SLD 6	-0.18237	-0.5471	SLD 11	-0.27406	-0.82218	SLE RA 4	2.62606	SLE RA 4	2.62606		
294	SLD 6	-0.1805	-0.54151	SLD 11	-0.2765	-0.8295	SLE RA 4	2.52491	SLE RA 4	2.52491		
295	SLD 6	-0.18145	-0.54436	SLD 11	-0.27554	-0.82661	SLE RA 4	2.65669	SLE RA 4	2.65669		
296	SLD 6	-0.18123	-0.54368	SLD 11	-0.27586	-0.82757	SLE RA 4	2.63953	SLE RA 4	2.63953		
297	SLD 6	-0.17928	-0.53783	SLD 11	-0.27775	-0.83326	SLE RA 4	2.39284	SLE RA 4	2.39284		
298	SLD 6	-0.18167	-0.54502	SLD 11	-0.27527	-0.82581	SLE RA 4	2.60998	SLE RA 4	2.60998		
299	SLD 6	-0.17853	-0.53559	SLD 11	-0.27846	-0.83537	SLE RA 4	2.25188	SLE RA 4	2.25188		
300	SLD 6	-0.17792	-0.53375	SLD 11	-0.27897	-0.83692	SLE RA 4	2.12469	SLE RA 4	2.12469		
301	SLD 6	-0.18212	-0.54635	SLD 11	-0.27488	-0.82464	SLE RA 4	2.6402	SLE RA 4	2.6402		
302	SLD 6	-0.18221	-0.54662	SLD 11	-0.2749	-0.8247	SLE RA 4	2.64711	SLE RA 4	2.64711		
303	SLD 9	-0.17246	-0.51739	SLD 8	-0.2826	-0.84779	SLE RA 4	1.27415	SLE RA 4	1.27415		
304	SLD 9	-0.17333	-0.51998	SLD 8	-0.28241	-0.84722	SLE RA 4	1.57102	SLE RA 4	1.57102		
305	SLD 9	-0.17436	-0.52307	SLD 8	-0.28218	-0.84655	SLE RA 4	1.83601	SLE RA 4	1.83601		
306	SLD 9	-0.17509	-0.52526	SLD 8	-0.282	-0.84601	SLE RA 4	1.99187	SLE RA 4	1.99187		
307	SLD 9	-0.17579	-0.52736	SLD 8	-0.28181	-0.84543	SLE RA 4	2.09508	SLE RA 4	2.09508		
308	SLD 9	-0.17652	-0.52956	SLD 8	-0.28144	-0.84433	SLE RA 4	2.16889	SLE RA 4	2.16889		
309	SLD 9	-0.17723	-0.5317	SLD 8	-0.2808	-0.84239	SLE RA 4	2.22336	SLE RA 4	2.22336		
310	SLD 9	-0.17792	-0.53377	SLD 8	-0.27989	-0.83968	SLE RA 4	2.26377	SLE RA 4	2.26377		
311	SLD 9	-0.17862	-0.53587	SLD 8	-0.27889	-0.83668	SLE RA 4	2.2928	SLE RA 4	2.2928		
312	SLD 9	-0.17931	-0.53793	SLD 8	-0.27804	-0.83412	SLE RA 4	2.31212	SLE RA 4	2.31212		
313	SLD 10	-0.17992	-0.53976	SLD 7	-0.27739	-0.83216	SLE RA 4	2.32286	SLE RA 4	2.32286		
314	SLD 6	-0.17924	-0.53773	SLD 11	-0.27814	-0.83441	SLE RA 4	2.33343	SLE RA 4	2.33343		
315	SLD 6	-0.17853	-0.5356	SLD 11	-0.27911	-0.83732	SLE RA 4	2.26984	SLE RA 4	2.26984		
316	SLD 6	-0.17784	-0.53352	SLD 11	-0.28029	-0.84088	SLE RA 4	2.26442	SLE RA 4	2.26442		
317	SLD 6	-0.17714	-0.53142	SLD 11	-0.28128	-0.84384	SLE RA 4	2.15264	SLE RA 4	2.15264		
318	SLD 6	-0.17639	-0.52916	SLD 11	-0.28195	-0.84585	SLE RA 4	2.08404	SLE RA 4	2.08404		
319	SLD 6	-0.17561	-0.52683	SLD 11	-0.28222	-0.84665	SLE RA 4	2.01598	SLE RA 4	2.01598		
320	SLD 6	-0.17484	-0.52451	SLD 11	-0.28238	-0.84715	SLE RA 4	1.8743	SLE RA 4	1.8743		
321	SLD 6	-0.17377	-0.52131	SLD 11	-0.28264	-0.84791	SLE RA 4	1.60238	SLE RA 4	1.60238		
322	SLD 6	-0.17297	-0.5189	SLD 11	-0.28287	-0.84862	SLE RA 4	1.27492	SLE RA 4	1.27492		